

๑๗๘๖/๕๔

๑๑๐/๘๐๐๑



## รายงานฉบับสมบูรณ์

การพัฒนาระบบการสังเคราะห์คาร์บอนรูพรุน  
Development of Synthetic Process of Porous Carbon

ผศ.ดร. จินตวัฒน์ ไชยชนะวงศ์  
Asst. Prof. Jintawat Chaichanawong, D.Eng.



คณะวิศวกรรมศาสตร์

สถาบันเทคโนโลยีไทย-ญี่ปุ่น

พ.ศ. ๒๕๕๘

๒๙/๔/๕๘

## บทคัดย่อ

โครงการวิจัยนี้มุ่งเน้นการพัฒนากระบวนการสังเคราะห์คาร์บอนรูพรุนที่ไม่ซับซ้อนและมีประสิทธิภาพ โดยแบ่งงานวิจัยออกเป็น 3 ส่วน ส่วนที่หนึ่งมุ่งเน้นการใช้วัตถุดิบจากวัสดุเหลือใช้หรือผลผลิตจากการเกษตรเพื่อผลิตถ่านกัมมันต์ ส่วนที่สองเน้นพัฒนาแนวทางเบื้องต้นในการสังเคราะห์คาร์บอนรูพรุนชนิดเม็ดด้วยกระบวนการโซล-เจลโพลิคอนเดนเซชันโดยใช้เทคนิคการปั้นกรวยอย่างง่าย และส่วนที่สามเป็นการทดลองผลิตภัณฑ์ที่สังเคราะห์ได้ในกระบวนการประยุกต์ใช้สำหรับการบำบัดน้ำเสีย

จากการศึกษาการผลิตถ่านกัมมันต์จากเมล็ดมะขามสามารถผลิตได้ด้วยวิธีการคาร์บอนเชิงกลยุทธ์ได้บรรยายของก๊าซในโตรเจน พบร่องรอยของก๊าซในโตรเจน พบว่าอุณหภูมิการไฟโรไลซ์เป็นปัจจัยสำคัญที่สุดที่มีผลต่อคุณสมบัติรูพรุนของถ่านกัมมันต์ และสามารถปรับปรุงคุณสมบัติรูพรุนได้ด้วยการกระตุ้นทางเคมีโดยใช้โพแทสเซียมไฮดรอกไซด์ (KOH)

ในการศึกษาการสังเคราะห์คาร์บอนแอโรเจลไมโครสเฟียร์ โดยใช้วิธีการฉีดอย่างง่าย ให้เกิดเป็นอิมลัชั่น ผ่านกระบวนการโซล-เจลโพลิคอนเดนเซชันของสารละลายเรซอร์ชินอล-ฟอร์มาลดีไฮด์ โดยใช้โซเดียมคาร์บอนเนตเป็นตัวเร่งปฏิกิริยา จากนั้นนำมาผ่านกระบวนการแลกเปลี่ยนตัวทำละลาย กับน้ำภายในรูพรุนโดยใช้อัลูมิโนไนท์ การทำแห้งแบบเหนืออุ่นโดยใช้คาร์บอนไดออกไซด์เหนืออุ่น และการทำคาร์บอนในเชิงกลยุทธ์ในบรรยายของก๊าซในโตรเจนที่อุณหภูมิสูง โดยการศึกษาอิทธิพลของเวลาบ่มก่อนการฉีด 1-4 ชั่วโมง อัตราการฉีด 0.25-1.00 ml/h และอัตราการปั้นกรวยของเฟสต่อเนื่อง 180-450 rpm ที่มีผลต่อขนาดของอนุภาคและสมบัติรูพรุนของคาร์บอนแอโรเจลไมโครสเฟียร์ที่สังเคราะห์ได้ พบร่องรอยของก๊าซในโตรเจนที่มีรูปร่างทรงกลม ขนาดเส้นผ่านศูนย์กลางเฉลี่ยของคาร์บอนแอโรเจลไมโครสเฟียร์ได้สังเคราะห์ได้อยู่ในช่วงประมาณ 20 ถึง 55 μm โดยการเพิ่มเวลาบ่มก่อนการฉีด จะไม่ส่งผลต่อขนาดอนุภาคของคาร์บอนแอโรเจลไมโครสเฟียร์ที่ได้รับ คาร์บอนแอโรเจลไมโครสเฟียร์ที่สังเคราะห์โดยใช้เวลาบ่มก่อนการฉีด 1 2 3 และ 4 ชั่วโมง จะมีขนาดเส้นผ่านศูนย์กลางเฉลี่ยของอนุภาค 44.6 42.7 42.5 และ 43.2 μm ตามลำดับ จะส่งผลให้พื้นที่ผิวจำเพาะ ( $S_{BET}$ ) ปริมาตรไมโครพอร์ และปริมาตรรูพรุนทั้งหมดเพิ่มขึ้น ขณะที่การเพิ่มอัตราการฉีดทำให้ขนาดอนุภาคของคาร์บอนแอโรเจลไมโครสเฟียร์ที่สังเคราะห์ได้จะมีขนาดที่เล็กลง โดยที่คาร์บอนแอโรเจลไมโครสเฟียร์ที่สังเคราะห์โดยใช้อัตราการฉีด 0.25 0.50 0.75 และ 1.00 ml/h จะมีขนาดเส้นผ่านศูนย์กลางเฉลี่ยของอนุภาค 55.1 44.6 37.3 และ 31.6 μm ตามลำดับ จะส่งผลให้พื้นที่ผิวจำเพาะ ( $S_{BET}$ ) ปริมาตรไมโครพอร์ และปริมาตรรูพรุนทั้งหมดลดลง ส่วนการเพิ่มอัตราการปั้นกรวย ขนาดอนุภาคของคาร์บอนแอโรเจลไมโครสเฟียร์ที่สังเคราะห์ได้ จะมีขนาดอนุภาคที่เล็กลง โดยที่คาร์บอนแอโรเจลไมโครสเฟียร์ที่สังเคราะห์โดยใช้อัตราการปั้นกรวย 180 260 360 และ 450 rpm จะมีขนาดเส้นผ่านศูนย์กลางเฉลี่ยของอนุภาค 44.6 36.7 25.7 และ 20.8 μm ตามลำดับ จะส่งผลให้พื้นที่ผิวจำเพาะ ( $S_{BET}$ ) ปริมาตรไมโครพอร์ และปริมาตรรูพรุนทั้งหมดลดลง

จากการการศึกษาความสามารถในการดูดซับพื้นอล โดยนำคาร์บอนแอโรเจลไมโครสเฟียร์ที่เตรียมโดยใช้เวลาบ่มก่อนการฉีด 1 ชั่วโมง อัตราการฉีด 0.5 ml/h และอัตราการปั้นกรวยของเฟสต่อเนื่อง 180 rpm มาทดลองดูดซับพื้นอล พบร่องรอยของก๊าซในโตรเจน พบว่าสามารถดูดซับได้ปริมาณ 29.20 mg/g ที่อุณหภูมิคงที่ 30 °C ซึ่งสามารถดูดซับได้มากกว่าตัวดูดซับถ่านกัมมันต์เชิงการค้าประมาณ 11 เท่า

## กิตติกรรมประกาศ

โครงการวิจัยนี้สำเร็จได้ ข้าพเจ้าขอกราบขอบพระคุณ รศ.ดร.รวัชชัย ชринพานิชกุล ผู้อำนวยการศูนย์เชี่ยวชาญเฉพาะทางด้านเทคโนโลยีอนาคต คณะวิศวกรรมศาสตร์ จุฬาลงกรณ์มหาวิทยาลัย และ พศ.ดร.สุรัตน์ อารีรัตน์ อาจารย์ประจำสาขาวิชาชีวกรรมเคมี คณะวิศวกรรมศาสตร์ สถาบันเทคโนโลยีพระจอมเกล้าเจ้าคุณทหารลาดกระบัง ที่ให้คำแนะนำ และคอยช่วยเหลือในระหว่างการทำวิจัย ตลอดจนได้ให้ความกรุณาอนุเคราะห์อุปกรณ์การวิจัยและสถานที่สำหรับใช้ในการทำงานวิจัย จนโครงการวิจัยนี้เสร็จสมบูรณ์

ขอกราบขอบพระคุณ Dr. Kyuya Nakagawa (Kyoto University) และ Dr. Takuji Yamamoto (University of Hyogo) ที่ให้ความกรุณาอนุเคราะห์เตาเผาแบบท่อสำหรับใช้ในการทำงานวิจัย และให้คำแนะนำในการเริ่มทำโครงการการทำวิจัยนี้

ขอขอบคุณ นายมหรรณ พึกขาว และ นางสาวสิริ บุราภรณ์พงศ์ (ผู้ช่วยวิจัยประจำโครงการ) นายกรณิศ คงเจริญ และ นางสาวปฐมพร เคลือบสุวรรณ (นักศึกษาปริญญาโทสาขาวิชาชีวกรรมเคมี คณะวิศวกรรมศาสตร์ สถาบันเทคโนโลยีพระจอมเกล้าเจ้าคุณทหารลาดกระบัง ลาดกระบัง) นายธนชพงศ์ จารุโรจน์พีระ และ นางสาวณัฐกานต์ เนยเขียว (นักศึกษาปริญญาตรี หลักสูตรวิศวกรรมการผลิต คณะวิศวกรรมศาสตร์ สถาบันเทคโนโลยีไทย-ญี่ปุ่น) ที่ร่วมทำงานวิจัยจนโครงการนี้สำเร็จ

หากเกิดความผิดพลาดใดในงานวิจัย ข้าพเจ้าขอน้อมรับไว้ ณ ที่นี่ และข้าพเจ้ายินดีที่จะนำข้อเสนอแนะไปใช้ประกอบการศึกษาด้านค่าวัสดุและพัฒนาเพื่อเป็นประโยชน์ต่อไปในอนาคต

ผศ.ดร. จินตวัฒน์ ไชยชนะวงศ์  
หัวหน้าโครงการวิจัย

THAI - NICHIBAN INSTITUTE OF TECHNOLOGY

# สารบัญ

	หน้า
บทคัดย่อ .....	i
กิตติกรรมประกาศ .....	ii
สารบัญ .....	iii
สารบัญตาราง .....	iv
สารบัญรูป .....	vii
บทที่ 1 บทนำ .....	1
1.1 ความเป็นมาและความสำคัญของปัจจุบัน .....	1
1.2 วัตถุประสงค์ของงานวิจัย .....	2
1.3 ขอบเขตการวิจัย .....	2
บทที่ 2 ทฤษฎีและงานวิจัยที่เกี่ยวข้อง .....	4
2.1 วัสดุcarbonบอนรูพรุน (Porous Carbon) .....	4
2.2 ถ่านกัมมันต์ (Activated Carbon) .....	5
2.2.1 การcarbon化 (Carbonization) .....	5
2.2.2 การกระตุ้น (Activation) .....	6
2.3 โซล-เจลเทคโนโลยี (Sol-Gel Technology) .....	7
2.3.1 การเตรียมเจล .....	7
2.3.2 การทำให้เกิดเจล .....	8
2.3.3 การทำเจลให้แห้ง .....	8
2.3.4 รีซอร์ชินอล-ฟอร์มาลดีไฮด์carbonบอนเจล .....	9
2.4 การดูดซับ (Adsorption) .....	12
2.4.1 ประเภทของการดูดซับ .....	12
2.4.2 ประเภทของสารดูดซับ .....	13
2.4.3 ไอโซเทอร์มของการดูดซับ .....	13
2.5 งานวิจัยที่เกี่ยวข้อง .....	14

## สารบัญ (ต่อ)

	หน้า
บทที่ 3 การทดลอง .....	19
3.1 การสังเคราะห์ถ่านกัมมันต์จากเมล็ดมะขาม .....	19
3.1.1 วัสดุและสารเคมี .....	19
3.1.2 อุปกรณ์และเครื่องมือที่ใช้ทำการวิจัย .....	19
3.1.3 การสังเคราะห์ถ่านกัมมันต์จากเมล็ดมะขามโดยการกระตุนทางเคมี .....	20
3.1.4 การศึกษาคุณลักษณะของถ่านกัมมันต์ .....	21
3.2 การสังเคราะห์คาร์บอนแอโรเจลไมโครสเฟียร์โดยวิธีการทำให้เกิดอิมัลชันผ่านการฉีด อย่างง่าย .....	21
3.2.1 วัสดุและสารเคมี .....	21
3.2.2 อุปกรณ์และเครื่องมือที่ใช้ทำการวิจัย .....	22
3.2.3 การเตรียมคาร์บอนแอโรเจลไมโครสเฟียร์ .....	22
3.2.4 การศึกษาคุณลักษณะของคาร์บอนแอโรเจลไมโครสเฟียร์ .....	24
3.3 การศึกษาความสามารถในการดูดซับฟืนอล .....	25
3.3.1 การทดลองดูดซับฟืนอลด้วยคาร์บอนแอโรเจลไมโครสเฟียร์ .....	25
3.3.2 การคำนวณหาปริมาณของฟืนอลที่ถูกดูดซับ .....	25
บทที่ 4 ผลการทดลองและการวิเคราะห์ผล .....	27
4.1 การสังเคราะห์ถ่านกัมมันต์จากเมล็ดมะขาม .....	27
4.2 การศึกษาการสังเคราะห์คาร์บอนแอโรเจลไมโครสเฟียร์โดยวิธีการทำให้เกิดอิมัลชัน ผ่านการฉีดอย่างง่าย .....	29
4.2.1 อิทธิพลของเวลาปั่นก่อนการฉีดต่อขนาดของอนุภาคและสมบัติ ของรูปrun .....	29
4.2.2 อิทธิพลของอัตราการฉีดต่อขนาดของอนุภาคและสมบัติของรูปrun .....	34
4.2.3 อิทธิพลของอัตราการปั่นกวนของเฟสต่อเนื่องต่อขนาดของอนุภาค และสมบัติของรูปrun .....	38
4.3 การศึกษาความสามารถในการดูดซับฟืนอล .....	43

## สารบัญ (ต่อ)

	หน้า
บทที่ 5 สรุปผลการศึกษาและข้อเสนอแนะ .....	45
5.1 สรุปผลการศึกษา .....	45
5.1.1 การสังเคราะห์ถ่านกัมมันต์จากเมล็ดมะขาม .....	45
5.1.2 การศึกษาการสังเคราะห์คาร์บอนแอโรเจลไมโครสเพียร์โดยวิธีการทำให้เกิดอิมัลชันผ่านการฉีดอย่างง่าย .....	47
5.1.3 การศึกษาความสามารถในการดูดซับฟีนอล .....	47
5.2 ข้อเสนอแนะ .....	48
บรรณานุกรม .....	47
ภาคผนวก .....	50
ผลงานตีพิมพ์ .....	50

## สารบัญตาราง

ตารางที่	หน้า
4.1 ผลการวิเคราะห์แบบประมาณ (Proximate analysis) ของเมล็ดมะขาม	27
4.2 สมบัติรูปนูนในเงื่อนไขการทดลองของถ่านกัมมันต์	28
4.3 คุณลักษณะของการบอนแวร์เจลไมโครสเฟียร์ที่เตรียมโดยใช้เวลาบ่มก่อนการฉีดต่างกัน	34
4.4 คุณลักษณะของการบอนแวร์เจลไมโครสเฟียร์ที่เตรียมโดยใช้อัตราการฉีดต่างกัน	37
4.5 คุณลักษณะของการบอนแวร์เจลไมโครสเฟียร์ที่เตรียมโดยใช้อัตราการปั่นวง ของเฟสต่อเนื่องต่างกัน	42

## สารบัญรูป

รูปที่		หน้า
2.1	โครงสร้างรูปรุนของวัสดุคาร์บอนรูปรุน	4
2.2	กลไกการเกิดปฏิกิริยาพอลิค้อนเดนเซชันของรีซอร์ชินอลกับฟอร์มาลดีไฮด์	10
2.3	การเติบโตของรีซอร์ชินอลฟอร์มาลดีไฮด์พอลิเมอร์	10
2.4	ไอโซเทอร์มของการดูดซับตามการจำแนกของ IUPAC	13
3.1	ขั้นตอนการสังเคราะห์ถ่านกัมมันต์จากเมล็ดมะขามโดยการกระตุนทางเคมี	20
3.2	เครื่องมือที่ใช้ในการสังเคราะห์คาร์บอนแอโรเจลไมโครสเพียร์	23
4.1	ผลการวิเคราะห์ TG-DTG ของเมล็ดมะขาม	28
4.2	การเปลี่ยนแปลงความหนืดสัมพัทธ์ของสารละลายอาร์เอฟที่ $25^{\circ}\text{C}$	30
4.3	สัณฐานวิทยาของคาร์บอนแอโรเจลไมโครสเพียร์ที่สังเคราะห์ได้ที่เตรียมโดยใช้เวลาบ่มก่อนการฉีด 1 2 3 และ 4 ชั่วโมง	31
4.4	ขนาดอนุภาคของคาร์บอนแอโรเจลไมโครสเพียร์ที่เตรียมโดยใช้เวลาบ่มก่อนการฉีดต่างกัน	31
4.5	การกระจายตัวของขนาดอนุภาคของคาร์บอนแอโรเจลไมโครสเพียร์ที่เตรียมโดยใช้เวลาบ่มก่อนการฉีดต่างกัน	31
4.6	ไอโซเทอร์มการดูดซับและคายซับของก๊าซในโครงบนคาร์บอนแอโรเจลไมโครสเพียร์ซึ่งเตรียมตัวอย่างโดยใช้เวลาบ่มก่อนการฉีด 1 และ 4 ชั่วโมง	32
4.7	การกระจายตัวของขนาดรูปรุนของคาร์บอนแอโรเจลไมโครสเพียร์ที่เตรียมโดยใช้เวลาบ่มก่อนการฉีด 1 และ 4 ชั่วโมง	33
4.8	สัณฐานวิทยาของคาร์บอนแอโรเจลไมโครสเพียร์ที่สังเคราะห์ได้ที่เตรียมด้วยอัตราการฉีด 0.25 0.50 0.75 และ 1.00 ml/h	34
4.9	ขนาดอนุภาคของคาร์บอนแอโรเจลไมโครสเพียร์ที่เตรียมโดยใช้อัตราการฉีดต่างกัน	35
4.10	การกระจายตัวของขนาดอนุภาคของคาร์บอนแอโรเจลไมโครสเพียร์ที่เตรียมโดยใช้อัตราการฉีดต่างกัน	35
4.11	ไอโซเทอร์มการดูดซับและคายซับของแก๊สในโครงบนคาร์บอนแอโรเจลไมโครสเพียร์ซึ่งเตรียมตัวอย่างโดยใช้อัตราการฉีด 0.5 และ 1.00 ml/h	36
		47

## สารบัญ (ต่อ)

รูปที่	หน้า
4.12 การกระจายตัวของขนาดรูพรุนของคาร์บอนแอโรเจลไมโครสเฟียร์ที่เตรียมโดยใช้อัตราการนีด 0.5 และ 1.00 mL/h .....	38
4.13 สัณฐานวิทยาของคาร์บอนแอโรเจลไมโครสเฟียร์ที่สังเคราะห์ได้ที่เตรียมด้วยอัตราการปั่นกวนของเฟสต่อเนื่อง 180 260 360 และ 450 rpm .....	39
4.14 ขนาดอนุภาคของคาร์บอนแอโรเจลไมโครสเฟียร์ ที่เตรียมโดยใช้อัตราการปั่นกวนของเฟสต่อเนื่องต่างกัน.....	39
4.15 การกระจายตัวของขนาดอนุภาคของคาร์บอนแอโรเจลไมโครสเฟียร์ที่เตรียมโดยใช้อัตราการปั่นกวนของเฟสต่อเนื่องต่างกัน .....	40
4.16 ไอโซเทอร์มการดูดซับและคายซับของแก๊สในโครงรูบอนแอโรเจลไมโครสเฟียร์ซึ่งเตรียมด้วยอัตราการปั่นกวนของเฟสต่อเนื่อง 180 และ 450 rpm .....	43
4.17 การกระจายตัวของขนาดรูพรุนของคาร์บอนแอโรเจลไมโครสเฟียร์ที่เตรียมโดยใช้อัตราการปั่นกวนของเฟสต่อเนื่อง 180 และ 450 rpm .....	42
4.18 ความสัมพันธ์ระหว่างปริมาณดูดซับจำเพาะของคาร์บอนแอโรเจลไมโครสเฟียร์ กับระยะเวลาในการดูดซับ .....	43

## บทที่ 1

### บทนำ

#### 1.1 ความเป็นมาและความสำคัญของปัจจุบัน

คาร์บอนรูพ魯น (Porous carbon) เช่น คาร์บอนเจล (Carbongel) ถ่านกัมมันต์ (Activated carbon) นิยมนิยมนำไปใช้เป็นตัวดูดซับในกระบวนการกรองดูดซับ [1-3] เนื่องจากมีพื้นที่ผิวจำเพาะสูง ส่งผลให้มีความจุในการดูดซับสูง นอกจากนี้คาร์บอนรูพ魯นยังสามารถใช้ในกระบวนการคัดแยกตัวประกอบเดี่ยว เช่น ในกระบวนการบำบัดน้ำเสียที่มีการใช้อิโอนร่วมกับการดูดซับ [4,5] คาร์บอนรูพ魯นยังสามารถแบ่งตามลักษณะรูปร่างได้ 3 ประเภทดังนี้ ชนิดผงละเอียด ชนิดเม็ด และชนิดเกล็ด โดยชนิดผงละเอียดสามารถกระจายตัวในน้ำได้ดี แต่ไม่สามารถน้ำกลับมาใช้ใหม่ได้ นิยมนิยมนำไปใช้ในอุตสาหกรรมที่เกี่ยวข้องกับสารละลายหรือของเหลว เช่น ใช้ฟอกสีและดูดกลิ่นในอุตสาหกรรมน้ำตาล การผลิตน้ำมันพืช อุตสาหกรรมอาหาร และการทำน้ำให้บริสุทธิ์ ส่วนชนิดเม็ดหรือชนิดเกล็ด จะสามารถนำมา Regeneration เพื่อนำกลับมาใช้ใหม่ได้ คาร์บอนรูพ魯นชนิดเม็ดนิยมใช้ในกระบวนการแยกสารเคมีที่เป็นพิษ กระบวนการทำก๊าซให้บริสุทธิ์ เช่น เครื่องกรองอากาศ เครื่องกันก๊าซพิษ กันกรองบุหรี่ รวมถึงการบำบัดน้ำเสีย [4-6] เป็นต้น

คาร์บอนรูพ魯นสามารถผลิตได้หลายวิธี เช่น การสังเคราะห์ด้วยกระบวนการโซล-เจลโพลิค่อนเดนเซชั่น (Sol-gel polycondensation) ตามด้วยการทำให้แห้ง (Drying) และคาร์บอนไซเดนเซชั่น (Carbonization) ตามลำดับ [7, 8] ซึ่งคาร์บอนรูพ魯นที่ได้จะเรียกว่า “คาร์บอนเจล” โดยจะมีชื่อเรียกเปลี่ยนอีกตามกระบวนการทำให้แห้ง ตัวอย่างเช่น คาร์บอนเจลที่ได้จากการกระบวนการทำให้แห้งด้วยความเย็น โดยการแช่แข็งและตามด้วยการระเหิดตัวทำละลาย คาร์บอนที่ได้จากการนี้เรียกว่า คาร์บอนไครโอลเจล (Carbon cryogel) ซึ่งจะสามารถควบคุมคุณลักษณะ เช่น ขนาดรูพ魯น พื้นที่ผิวจำเพาะของคาร์บอนได้ง่ายเพียงแค่ปรับเปลี่ยนสภาพในแต่ละขั้นตอน และยังสามารถทำทั้งในรูปแบบเม็ดและผง อย่างไรก็ตามต้นทุนของวิธีการนี้ยังมีราคาค่อนข้างสูงเนื่องจากมีกระบวนการค่อนข้างซับซ้อน ใช้สารเคมีที่ยังมีราคาแพง และปริมาณการผลิตต่อแบบหน่อย นอกจากนี้ยังมีกระบวนการผลิตอื่นที่สามารถผลิตคาร์บอนรูพ魯นที่เรียกว่า “ถ่านกัมมันต์” ได้จากวัสดุเหลือใช้และผลผลิตจากการเกษตรโดยการเผาที่ความร้อนสูง ตามด้วยการปรับปรุงคุณสมบัติด้วยกรด เปส หรืออิน้ำ เช่น กลามะพร้าว กลาก ปาล์ม ไม้ไผ่ เป็นต้น แม้ว่าวิธีการนี้จะควบคุมคุณลักษณะได้ค่อนข้างมาก เนื่องจากวัตถุดิบจะมีความหลากหลายและมีคุณสมบัติต่างกัน และไม่สามารถผลิตเป็นเม็ดได้โดยตรง แต่ก็เป็นที่นิยมและมีการ

ผลิตในเชิงอุตสาหกรรม เนื่องจากวัตถุดิบเหล่านี้มีปริมาณมากและมีต้นทุนต่ำ สามารถผลิตในปริมาณมากได้ โดยเฉพาะในประเทศไทยซึ่งเป็นประเทศเกษตรกรรม มีผลผลิตและวัสดุเหลือใช้ทางการเกษตรอีกจำนวนมากที่ยังไม่มีการนำมาประยุกต์ใช้เพื่อให้เกิดประโยชน์สูงสุด

จากการศึกษาแนวโน้มในการพัฒนาระบวนการผลิตคาร์บอนรูปrun พบร่วมกับกระบวนการผลิตแต่ละชนิดมีข้อดี และข้อจำกัดที่แตกต่างกันออกไป ทางคณะผู้วิจัยเล็งเห็นว่า ยังสามารถพัฒนาระบวนการผลิตให้ง่ายแต่ยังคงคุณสมบัติของคาร์บอนรูปrun ที่ดีได้ ดังนั้นโครงการวิจัยนี้จึงมุ่งเน้นการพัฒนาระบวนการสังเคราะห์คาร์บอนรูปrun ที่ไม่ซับซ้อนและมีประสิทธิภาพ โดยแบ่งงานวิจัยออกเป็น 3 ส่วน ส่วนที่หนึ่งมุ่งเน้นการใช้วัตถุดิบจากวัสดุเหลือใช้หรือผลผลิตจากการเกษตรเพื่อผลิตถ่านกัมมันต์ ส่วนที่สองเน้นพัฒนาแนวทางเบื้องต้นในการสังเคราะห์คาร์บอนรูปrun ชนิดเม็ดด้วยกระบวนการโซล-เจลโพลิค่อนเดนเซชันโดยใช้เทคนิคการบีบวงอย่างง่าย โดยใช้ชุดอุปกรณ์อย่างง่ายที่ประกอบขึ้นเอง เพื่อทดแทนขั้นตอนการฉีดเป็นเม็ดในอ่างน้ำมัน (Oil bath) ที่อุณหภูมิประมาณ 100 °C ของวิธีการ Syringe Injection ที่มีกระบวนการค่อนข้างซับซ้อน และบริมาณที่ต้องแบบทช. (Batch) ไม่สูง โดยเทคนิคการบีบวงนี้จะสามารถผลิตคาร์บอนชนิดเม็ดได้และสามารถควบคุมคุณลักษณะต่างๆ ที่สำคัญของรูปrun เช่น ขนาดรูปrun พื้นที่ผิวจำเพาะของคาร์บอน และขนาดเม็ดคาร์บอนได้ เช่นเดียวกันกับวิธีการ Syringe Injection และส่วนที่สามเป็นการทดลองผลิตภัณฑ์สังเคราะห์ที่ได้ใน การประยุกต์ใช้สำหรับการบำบัดน้ำเสีย

## 1.2 วัตถุประสงค์ของการวิจัย

1.2.1 พัฒนาระบวนการสังเคราะห์คาร์บอนรูปrun โดยใช้วัตถุดิบจากวัสดุเหลือใช้หรือผลผลิตจากการเกษตร

1.2.2 พัฒนาระบวนการสังเคราะห์คาร์บอนรูปrun ชนิดเม็ดที่ไม่ซับซ้อนและสามารถควบคุมคุณลักษณะเฉพาะของคาร์บอนรูปrun ได้ เช่น พื้นที่ผิวจำเพาะ ขนาดรูปrun ขนาดของเม็ดคาร์บอน เป็นต้น

1.2.3 ประยุกต์ใช้คาร์บอนรูปrun ที่ผลิตได้ ในการบำบัดน้ำเสีย

## 1.3 ขอบเขตของการวิจัย

1.3.1 การพัฒนาระบวนการสังเคราะห์คาร์บอนรูปrun โดยใช้วัตถุดิบจากวัสดุเหลือใช้หรือผลผลิตจากการเกษตร

- 1) การพัฒนาระบวนการสังเคราะห์ถ่านกัมมันต์ โดยใช้วัตถุดิบจากวัสดุเหลือใช้หรือผลผลิตจากการเกษตร โดยใช้เมล็ดมะขามเป็นวัตถุดิบในการศึกษา

- 2) ศึกษาคุณสมบัติเบื้องต้นและกระบวนการในการผลิตถ่านกัมมันต์ โดยใช้เมล็ดมะขาม ซึ่งตัวแปรในกระบวนการผลิตที่นำมาศึกษา ได้แก่ อุณหภูมิที่ใช้ในกระบวนการคราร์บอไนเซชั่น อัตราการไหลของก้าชในโตรเจนขณะทำการเผา และเวลาที่ใช้ในการเผาถ่านกัมมันต์ ณ อุณหภูมิที่กำหนด เพื่อให้ได้ประสิทธิภาพสูงสุด

#### 1.3.2 การพัฒนากระบวนการสังเคราะห์คาร์บอนรูปนูนชนิดเม็ด

- 1) ศึกษาการสังเคราะห์คาร์บอนแอโรเจลไมโครสไฟเยอร์ โดยวิธีการทำให้เกิดอิมัลชันผ่านการฉีดอย่างง่าย ผ่านกระบวนการโซลเจลเพลคิกอนเดนเซชันของสารละลายนีโตริกซินอล-ฟอร์มาลดีไฮด์ จากนั้นนำมาระบบการแลกเปลี่ยนตัวทำละลาย การทำแห้งแบบเหนือวิกฤตโดยใช้คาร์บอนไดออกไซด์ และการทำคาร์บอนในเชิงในบรรยายกาศของในโตรเจน
- 2) ศึกษาอิทธิพลของสภาวะในการสังเคราะห์ ได้แก่ เวลาบ่มก่อนการฉีดในช่วง 1 – 4 h อัตราการฉีดในช่วง 0.25 – 1.00 mL/h และอัตราการบีบอัดของเฟสต่อเนื่องในช่วง 180 – 450 rpm ที่มีผลต่อขนาดอนุภาคและสมบัติรูปนูนของคาร์บอนแอโรเจลไมโครสไฟเยอร์ที่สังเคราะห์ได้

#### 1.3.3 การประยุกต์ใช้คาร์บอนรูปนูนที่ผลิตได้ ในการบำบัดน้ำเสีย

- 1) ทดสอบการดูดซับฟินอล เพื่อหาความสามารถในการดูดซับของคาร์บอนแอโรเจลไมโครสไฟเยอร์ที่เตรียมได้

## บทที่ 2

### ทฤษฎีและงานวิจัยที่เกี่ยวข้อง

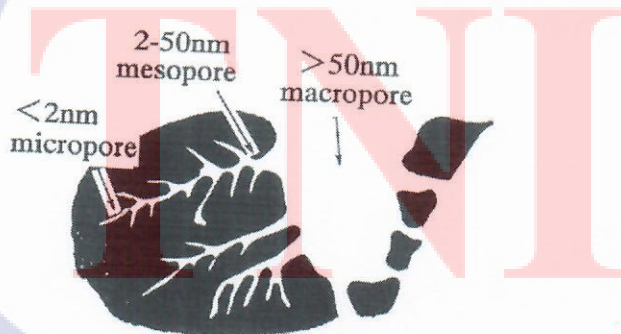
#### 2.1 วัสดุคาร์บอนรูพรุน (Porous Carbon) [9]

การบอนถูกนำมาใช้เป็นเครื่องมือทางในการประยุกต์ทำเป็นวัสดุ เพื่อนำคุณสมบัติที่ดีของคาร์บอนมาประยุกต์ใช้ในอุตสาหกรรม เช่น เส้นใยcarbon (Carbon Fibers) แกรไฟต์ (Graphite) และถ่านกัมมันต์ (Activated carbon) เป็นต้น วัสดุคาร์บอนสามารถเกิดจากวัสดุทางธรรมชาติ และวัสดุสังเคราะห์ คาร์บอนรูพรุนชนิดเม็ดเป็นตัวเลือกหนึ่งที่ถูกนำไปใช้ประโยชน์ เนื่องจากมีความเสถียรทางความร้อน มีพื้นที่ผิวต่อต้าน้ำหนักสูง มีความสามารถในการดูดซับได้ดี และสามารถนำไปฟื้นได้ จึงมีการนำคาร์บอนรูพรุนไปศึกษาเพื่อประยุกต์ใช้ในหลายด้าน โดยวัสดุคาร์บอนรูพรุนที่มีการศึกษาอย่างกว้างขวาง ได้แก่ ถ่านกัมมันต์ (Activated carbon) ซีโอไลต์ (Zeolite) และคาร์บอนแอโรเจล (Carbon aerogel) เป็นต้น

##### การแบ่งชนิดของรูพรุน

การล้างเคราะห์วัสดุคาร์บอนรูพรุนควรพิจารณาให้มีลักษณะเหมาะสมกับการใช้งาน โดยเฉพาะเรื่องขนาดของรูพรุน ซึ่งจะมีประโยชน์และความเหมาะสมสำหรับการใช้งานที่แตกต่างกัน การแบ่งชนิดของรูพรุน โดยใช้เกณฑ์ของขนาดรูพรุนเป็นเกณฑ์ในการกำหนด สามารถแบ่งออกเป็น 3 ชนิด ดังรูปที่ 2.1 ได้แก่

- 1) รูพรุนแบบมาโครโพอร์ (Macropores) มีเส้นผ่าศูนย์กลางเฉลี่ยของรูพรุนมากกว่า 50 nm
- 2) รูพรุนแบบเมโซโพอร์ (Mesopores) มีเส้นผ่าศูนย์กลางเฉลี่ยของรูพรุนตั้งแต่ 2 – 50 nm
- 3) รูพรุนแบบไมโครโพอร์ (Micropores) มีเส้นผ่าศูนย์กลางเฉลี่ยของรูพรุนน้อยกว่า 2 nm



รูปที่ 2.1 โครงสร้างรูพรุนของวัสดุคาร์บอนรูพรุน [9]

## 2.2 ถ่านกัมมันต์ (Activated Carbon)

ถ่านกัมมันต์ เป็นคาร์บอนรูพ魯นที่มีรูพ魯นประกอบไปด้วยอะตอมของคาร์บอนที่มีความบริสุทธิ์สูง นิยมใช้เป็นตัวดูดซับในการบำบัดมลพิษทางอากาศและน้ำ รวมถึงใช้เป็นวัสดุดูดซับไฮโดรเจน ซึ่ง จำเป็นต้องใช้วัสดุที่มีรูพ魯นที่มีสมบัติเหมาะสมกับการใช้งาน มีความบริสุทธิ์สูงและมีลักษณะเฉพาะ ซึ่ง การจำแนกวัสดุเหล่านี้สามารถทำได้โดยการวิเคราะห์พื้นที่ผิว ความพรุน การกระจายตัวของขนาดรูพ魯น และขนาดของรูพ魯น ซึ่งคุณสมบัติเหล่านี้จะมีบทบาทสำคัญโดยตรงต่อคุณภาพในการนำไปใช้งาน คาร์บอนที่มีรูพ魯นขนาดเล็ก มีความเป็นระเบียบของรูพ魯นและมีความสม่ำเสมอในโครงสร้างสูงนั้น จะช่วยเพิ่มคุณสมบัติในการใช้งาน เช่น เพิ่มพื้นที่ผิวเพิ่มความสามารถในการไฮโดรเจน เพิ่มความสามารถในการเป็นตัวรองรับของตัวเร่งปฏิกิริยาและเพิ่มความสามารถในการคัดแยกขนาดโมเลกุลของสารที่ผ่านเข้าไปในโครงสร้างเมื่อนำมาใช้เป็นตัวดูดซับ โดยทั่วไปขั้นตอนในการผลิตถ่านกัมมันต์มี 2 ขั้นตอนหลัก ได้แก่ การคาร์บอไนเซชัน และการกระตุน

### 2.2.1 การคาร์บอไนเซชัน (Carbonization)

การคาร์บอไนเซชัน เป็นกระบวนการไฟโรไลซิส (Pyrolysis) รูปแบบหนึ่งโดยการเผาต่ำดิบที่ เป็นสารอินทรีย์ซึ่งประกอบด้วยคาร์บอนและไฮโดรเจนเป็นองค์ประกอบหลัก ทำให้เกิดผลิตภัณฑ์ในรูปของถ่านชาร์ (Char) ซึ่งเป็นของแข็งเป็นส่วนใหญ่ ได้ก้าชและน้ำมันทาร์เป็นผลิตภัณฑ์อีกส่วนหนึ่ง การคาร์บอไนเซชันเป็นการเพิ่มการปริมาณคาร์บอนในผลิตภัณฑ์ให้สูงขึ้น สามารถทำได้ง่าย โดยการเผาในที่อับอากาศที่อุณหภูมิ  $200 - 1,000^{\circ}\text{C}$  ปัจจัยสำคัญที่มีผลต่อการคาร์บอไนเซชัน ได้แก่

#### 1) อุณหภูมิของการคาร์บอไนเซชัน

อุณหภูมิของการคาร์บอไนเซชันส่งผลต่อการระเหยและการถ่ายตัวของสารอินทรีย์ที่อยู่ในสารตั้งต้นซึ่งเป็นปัจจัยที่ส่งผลต่อการเพิ่มสัดส่วนของคาร์บอนของสารอินทรีย์ ขณะเดียวกันก็ได้ผลิตภัณฑ์ที่เป็นของเหลวและก้าชออกมาด้วย โดยการถ่ายตัวของสารอินทรีย์จะเกิดขึ้นบริเวณที่มีพันธะไม่แข็งแรง หรือหมุนฟังก์ชันที่หลุดได้ง่าย ทำให้กลุ่มโมเลกุลวงแหวนแตกออกจากกันเป็นกลุ่มๆ จำนวนมากและหลุดออกจากโครงสร้างหลักไป โครงสร้างวงแหวนอะโรมาติกหลักที่เหลือจะกล้ายเป็นโครงสร้างของถ่านชาร์ โดยการจัดเรียงตัวของคาร์บอนอะตอมจะเปลี่ยนไปตามอุณหภูมิที่เผา ส่วนโครงสร้างโมเลกุลหรือหมุนที่มีขนาดเล็กกว่า จะระเหยและถ่ายตัวออกมารูปผลิตภัณฑ์ต่างๆ ที่อุณหภูมิห้อง เช่น น้ำ แอมโนเนียมน้ำมันทาร์ และก้าชต่างๆ

#### 2) อัตราการให้ความร้อน

ผลกระทบของอัตราการให้ความร้อน เป็นตัวปัจจัยสำคัญต่อปริมาณและองค์ประกอบของสารระเหยที่ได้จากการคาร์บอไนเซชัน โดยที่ว่าไปอัตราการเพิ่มอุณหภูมิในการการบอไนเซชันอยู่ที่ประมาณ  $20^{\circ}\text{C/s}$  อันเป็นช่วงที่ทำให้เกิดการปลดปล่อยสารระเหยอย่างรวดเร็ว ถ้าอัตราการให้ความร้อนสูงปริมาณสารระเหยจะถูกปลดปล่อยอย่างรวดเร็ว ส่งผลให้ได้ถ่านที่มีรูพรุนขนาดใหญ่ ความว่องไวในการทำปฏิกิริยาสูงกว่าถ่านที่ได้จากการให้ความร้อนด้วยอัตราที่ต่ำกว่า เนื่องจากถ่านที่ได้จากการบอไนเซชันด้วยอัตราการเพิ่มอุณหภูมิสูง คาร์บอนจะเรียงตัวกันเป็นระเบียบแนวย ทำให้เกิดซองว่างมากเป็นรูพรุนขนาดใหญ่ เมื่อทำปฏิกิริยากระตุ้น ตัวกระตุ้นจะเข้าไปทำปฏิกิริยาได้ง่าย แต่ถ้าอัตราการให้ความร้อนสูงเกินไปจะส่งผลให้รูพรุนเกิดความเสียหายได้เช่นกัน

### 3) ตัวกลางของปฏิกิริยา

ตัวกลางของปฏิกิริยาที่อยู่ในกระบวนการการบอไนเซชัน ได้แก่ ก๊าซเนื้อเย็น เช่น ก๊าซไนโตรเจน ก๊าซออกซอน และก๊าซที่เกิดจากการเผาไหม้ ตัวกลางของปฏิกิริยาจะมีผลกระทบต่อการเกิดปฏิกิริยา ระหว่างการการบอไนเซชัน ถ้าก๊าซและไออกซอนซึ่งเป็นตัวกลางที่เป็นก๊าซที่ได้จากการเผาไหม้ที่เกิดขึ้นระหว่างการการบอไนเซชันถูกพาออกไปอย่างรวดเร็ว ปริมาณถ่านที่ได้จะน้อยกว่ากรณีที่ใช้ตัวกลางเป็นก๊าซไนโตรเจนในปริมาณมากๆ แต่ถ่านที่ได้จะมีความว่องไวในการทำปฏิกิริยากับตัวกระตุ้นสูงกว่า และพบว่าการการบอไนเซชันโดยใช้อากาศเป็นตัวกลางในเตาเผาแบบฟลูอิเดซ์เบดจะใช้พลังงานต่ำ เพราะความร้อนจากการเผาไหม้ของสารระเหยจะให้ความร้อนกับเตาฟลูอิเดซ์เบด

#### 2.2.2 การกระตุ้น (Activation)

การกระตุ้น คือ การทำให้คาร์บอนหรือถ่านมีความสามารถในการดูดซับสูงขึ้น ซึ่งเป็นผลจากการเพิ่มพื้นที่ผิวและการเพิ่มพื้นที่ผิวที่ว่องไว (Active surface area) โดยเกิดปฏิกิริยาทางเคมี ทำให้มีเกลุ่มบางกลุ่มหลุดออกไป และเกิดส่วนที่มีความสามารถในการดูดซับขึ้นมาแทน โดยอาจเป็นการเพิ่มความว่องไวในการดูดซับให้พื้นที่ผิวที่มีอยู่แล้ว โดยทำให้อะตอมของคาร์บอนมีพลังงานศักย์สูงขึ้น จากการจัดเรียงโครงสร้างใหม่ให้มีความว่องไวในการดูดซับสูงขึ้น และยังเป็นการกำจัดอินทรีย์ตุ่นหรืออนินทรีย์ตัวตุ่นต่างๆ ซึ่งเป็นสารปนเปื้อนออกจากบริเวณที่ทำหน้าที่ดูดซับอีกด้วย การกระตุ้นทำได้ 2 วิธี ได้แก่

##### 1) การกระตุ้นทางกายภาพ (Physical activation)

การกระตุ้นทางกายภาพ เป็นการปรับปรุงสมบัติของถ่านที่ได้จากการกระตุ้นโดยการใช้ก๊าซ เช่น ก๊าซคาร์บอนไดออกไซด์ หรือไอน้ำ ซึ่งใช้อุณหภูมิในการเผากระตุ้นค่อนข้างสูงประมาณ  $800\text{-}1000^{\circ}\text{C}$  เพื่อทำให้สารอินทรีย์ที่เหลืออยู่ในถ่านสลายไป ทำให้โครงสร้างภายในมีรูพรุนเพิ่มขึ้น ขนาดของรูพรุนที่ได้จะ

มีขนาดเล็กกว่าการกระตุนทางเคมี ซึ่งถ่านกัมมันต์ที่กระตุนด้วยทางกายภาพมีข้อดี คือ ที่สามารถนำไปใช้งานได้โดยไม่ต้องทำการละล้างสารเคมีที่เหลือตกค้างจากการกระตุน

## 2) การกระตุนทางเคมี (Chemical activation)

การกระตุนทางเคมี เป็นการปรับปรุงสมบัติของถ่านที่ได้โดยใช้สารเคมีกระตุนทำปฏิกิริยาเคมีกับผิว carbон โดยมีความร้อนเป็นตัวเร่งปฏิกิริยา ซึ่งขั้นตอนการกระตุนด้วยสารเคมีนั้น ข้อดีของวิธีนี้ คือ อุณหภูมิที่ใช้ไม่สูงมาก ( $400 - 600^{\circ}\text{C}$ ) แต่มีข้อเสีย คือ มีสารเคมีตกค้างในถ่านกัมมันต์ทำให้ต้องเสียเวลา และค่าใช้จ่ายในการล้างสารเคมีดังกล่าวออกเพิ่มขึ้น รวมทั้งเครื่องมือที่ใช้ต้องเป็นชนิดพิเศษที่สามารถต้านทานการกัดกร่อนได้ เพราะสารเคมีเหล่านี้เป็นสารกัดกร่อน สารเคมีที่นิยมใช้เป็นตัวกระตุนส่วนใหญ่ เป็นสารดูดนำ้า ได้แก่ ชิงค์คลอไรด์ ( $\text{ZnCl}_2$ ) โพแทสเซียมไฮดรอกไซด์ ( $\text{KOH}$ ) กรดฟอสฟอริก ( $\text{H}_3\text{PO}_4$ ) เป็นต้น

## 2.3 โซล-เจลเทคโนโลยี (Sol-Gel Technology) [10]

กระบวนการโซลเจลเป็นเทคนิคที่นิยมใช้ในการผลิตวัสดุที่มีคุณสมบัติเฉพาะตัวหรือวัสดุที่มีรูปrun ที่ต้องการความบริสุทธิ์สูง [11] เนื่องจากเป็นการเตรียมสารในระดับโมเลกุลทำให้สามารถกำหนดคุณสมบัติต่างๆ ที่ต้องการได้ นิยมใช้ในการสังเคราะห์วัสดุระดับนาโน กระบวนการโซลเจลประกอบด้วย 3 ขั้นตอนหลัก ได้แก่ การเตรียมเจล การทำให้เกิดเจล และการทำเจลให้แห้ง

### 2.3.1 การเตรียมเจล

ขั้นตอนกระบวนการโซลเจล คือ การผสมสารตั้งต้น (Precursor) กับสารตัวทำละลาย โดย คุณสมบัติและโครงสร้างของเจลที่ได้จะขึ้นกับชนิดของสารตั้งต้นและตัวทำละลาย โดยสามารถแบ่งประเภทของเจล [12] ได้ดังนี้

1) เจลอนินทรีย์ (Inorganic Gel) [13] เตรียมได้จากการจำพวกเกลืออนินทรีย์ หรือเมทัลออกไซด์ (Metal Alkoxide) ออกไซด์ของโลหะและวัสดุที่มีคุณลักษณะเป็นองค์ประกอบ เช่น เตตራเมทอซิซิเลน (Tetramethoxysilane) เตตระเอทอกซิซิเลน (Tetraethoxysilane) อะลูมิเนียมออกไซด์ (Aluminium Oxide) โครเมียมออกไซด์ (Chromium Oxide) ทินออกไซด์ (Tin Oxide) เป็นต้น

2) เจลอินทรีย์ (Organic Gel) [14] เตรียมได้จากปฏิกิริยาพอลิเมอร์ไรซิเนชัน (Polymerization) ระหว่างไฮดรอกซิเลทเบนซิน (Hydroxylated Benzenes) และอัลเดทไซด์ (Aldehydes) ตัวอย่าง สารประกอบไฮดรอกซิเลทเบนซิน เช่น พีโนล (Phenol) เคทอกอล (Catechol) ริซอร์ซินอล (Resorcinol)

เป็นต้น ส่วนสารประกอบของอัลดีไฮด์ เช่น พอร์มาลดีไฮด์ (Formaldehyde) เฟอร์ฟูรอล (Furfural) เป็นต้น

- 3) ไฮโดรเจล (Hydrogel) [15] เป็นเจลที่ได้จากการผสมสารตั้งตันจากน้ำ
- 4) ไลโอดเจล (Lyogel) [15] เป็นเจลที่ได้จากการผสมสารตั้งตันกับสารละลายอินทรีย์ เช่น อะซิโตน (Acetone) เมทานอล (Methanol) เอทานอล (Ethanol) นอมัลโพรพาโนล (N-propanol) ไอโซโพรพาโนล (Iso-propanol) เป็นต้น

### 2.3.2 การทำให้เกิดเจล

หลังจากการผสมสารตั้งตันกับตัวทำละลาย สารละลายจะเกิดปฏิกิริยาไฮโดรไลซิส (Hydrolysis) และปฏิกิริยาโพลิคอนเดนเซชัน (Polycondensation) สารประกอบที่อยู่ในสถานะของเหลวที่เรียกว่าโซล (Sol) ซึ่งมักอยู่ในรูปของสารแขวนลอย (Colloid) เกาะตัวกันเป็นร่างแหอย่างต่อเนื่อง กล้ายเป็นของแข็งที่เรียกว่า เจล(Gel)

### 2.3.3 การทำเจลให้แห้ง

การทำแห้งเป็นกระบวนการกำจัดน้ำที่มีอยู่มากในไฮโดรเจล ผลของการทำแห้งนั้นอาจทำให้โครงสร้างของรูพุนเกิดการยุบตัวลง (Collapse) ในการควบคุมขั้นตอนนี้จะทำให้สามารถรักษาโครงสร้างของรูพุน ปัจจัยที่มีผลต่อการทำแห้ง เช่น วิธีการทำแห้ง อุณหภูมิ ความชื้นสัมพัทธ์ อัตราการไหลของอากาศบนผิวน้ำ ขนาดของตะกอน เป็นต้น ซึ่งวิธีการทำแห้ง [15] ได้แก่ การทำแห้งแบบเหนือวิกฤต (Supercritical drying) การทำแห้งแบบแช่แข็ง (Freeze drying) และการทำแห้งแบบซับคริติกอล (Subcritical drying)

ผลิตภัณฑ์จากการกระบวนการโซล-เจลจะอยู่ในรูปแบบต่างๆ เช่น ขี้นรูปด้วยการรีดให้เป็นเส้นใย (Fiber) การทำแห้งเหนือจุดวิกฤตได้เป็นแอโรเจล (Aerogel) ทำให้แห้งในสภาพบรรยากาศได้เป็นซีโรเจล (Xerogel) สามารถทำให้เป็นอนุภาคผง (Powder) และใช้ในงานเคลือบฟิล์ม (Coating film) เป็นต้น กระบวนการโซล-เจลเป็นกระบวนการที่สามารถทำได้ที่อุณหภูมิห้อง สามารถทำได้ในระดับห้องปฏิบัติการจนถึงระดับอุตสาหกรรม

### 2.3.4 รีซอร์ซินอล-ฟอร์มาลดีไฮด์คาร์บอนเจล (Resorcinol-Formaldehyde Carbon Gel, RF Gel)

สมบัติของวัสดุคาร์บอนที่เตรียมจากปฏิกิริยาโพลิคอนเดนเซชันของไฮดรอกซิเลทเป็นชีนและอัลดีไฮด์ในตัวทำละลาย ตามด้วยกระบวนการแลกเปลี่ยนสารละลาย กระบวนการทำแห้ง (Drying) และการ

ไฟโรไรซิส (Pyrolysis) จะขึ้นอยู่กับธรรมชาติของสารตั้งต้นในสภาวะการเกิดเจลและกระบวนการทำให้แห้ง ซึ่งสารตั้งต้นที่นิยมใช้ในการสังเคราะห์วัสดุかるบอนคือ รีซอร์ชินอลกับฟอร์มาลดีไฮด์ สังเคราะห์พอลิเมอร์โดยใช้น้ำเป็นตัวทำละลาย และใช้โซเดียมคาร์บอเนต ( $\text{Na}_2\text{CO}_3$ ) เป็นตัวเร่งปฏิกิริยา [16]

### 1) การเตรียมรีซอร์ชินอลฟอร์มาลดีไฮด์เจลหรืออาร์เจล [17]

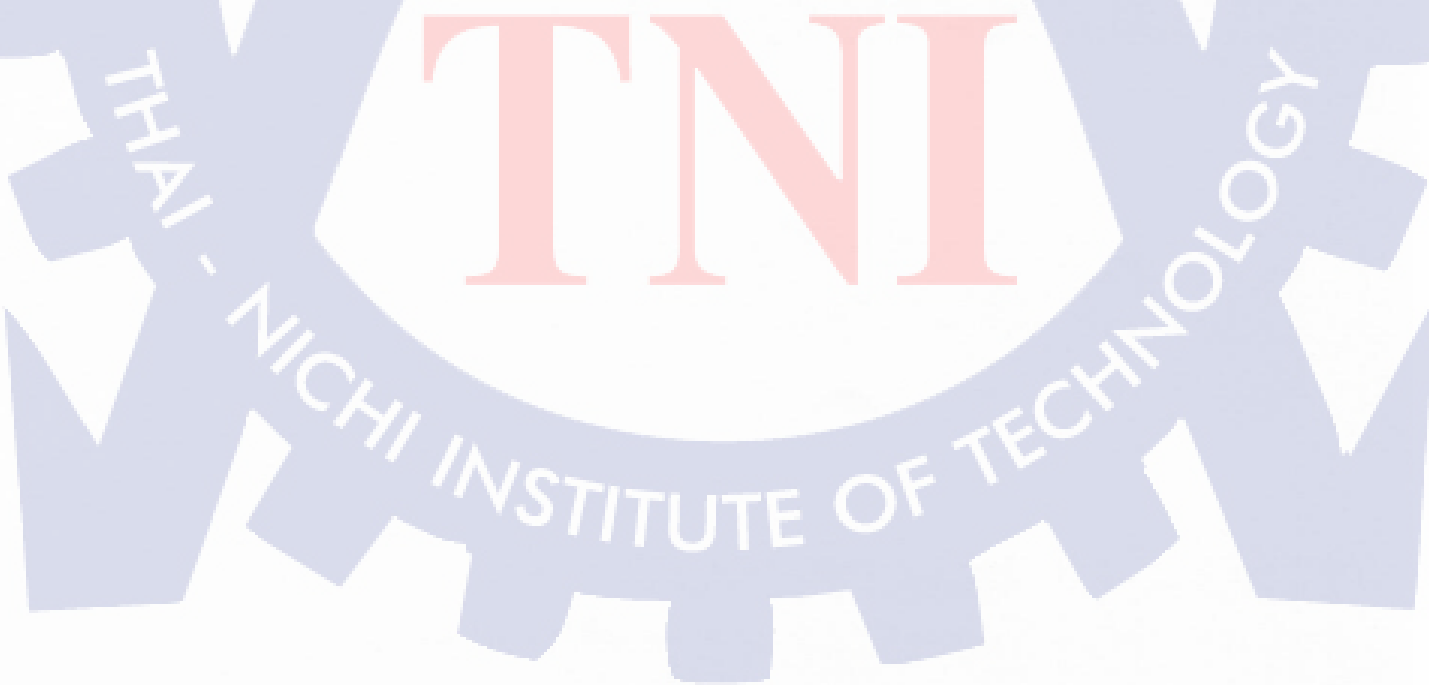
การเกิดปฏิกิริยาพอลิเมอร์ไรเซชันของรีซอร์ชินอล(1,3-dihydroxybenzene,  $\text{C}_6\text{H}_4(\text{OH})_2$ ) กับฟอร์มาลดีไฮด์( $\text{HCHO}$ ) ประกอบด้วย 2 ขั้นตอน ดังรูปที่ 2.2 และ 2.3 ได้แก่

1.1) ปฏิกิริยาการเติม (Addition Reaction) รีซอร์ชินอลซึ่งเป็นสารประกอบฟิโนลิก (Phenolic) ไตรฟังก์ชันนอล (Tri-Funtional) เกิดปฏิกิริยาการเติมด้วยโมเลกุลของฟอร์มาลดีไฮด์ได้ 3 ตำแหน่ง (2, 4 และ 6) จากนั้นจึงเกิดเป็นรีซอร์ชินอลฟอร์มาลดีไฮด์มอนومอร์ (Resorcinol Formaldehyde Monomer)

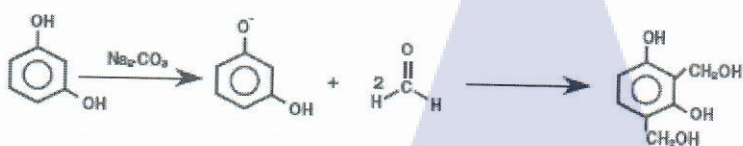
1.2) ปฏิกิริยาค้อนเดนเซชัน (Condensation Reaction) โดยการรวมตัวกันของรีซอร์ชินอลฟอร์มาลดีไฮด์มอนอมอร์ด้วยพันธะเมทธิลีนบริดจ์ (Methylene Bridges,  $-\text{CH}_2-$ ) และพันธะเมทธิลีนอีเทอร์บริดจ์ (Methylene Ether Bridges,  $-\text{CH}_2\text{OCH}_2-$ ) ปฏิกิริยาจะเกิดขึ้นอย่างต่อเนื่องเกิดเป็นร่างแหของพอลิเมอร์ และกล้ายเป็นอนุภาคคลอสอยด์ที่เรียกว่า โซล ซึ่งจะเกาะตัวกันกล้ายเป็นเจล

### 2) กระบวนการแลกเปลี่ยนตัวทำละลาย (Solvent Exchange) [18]

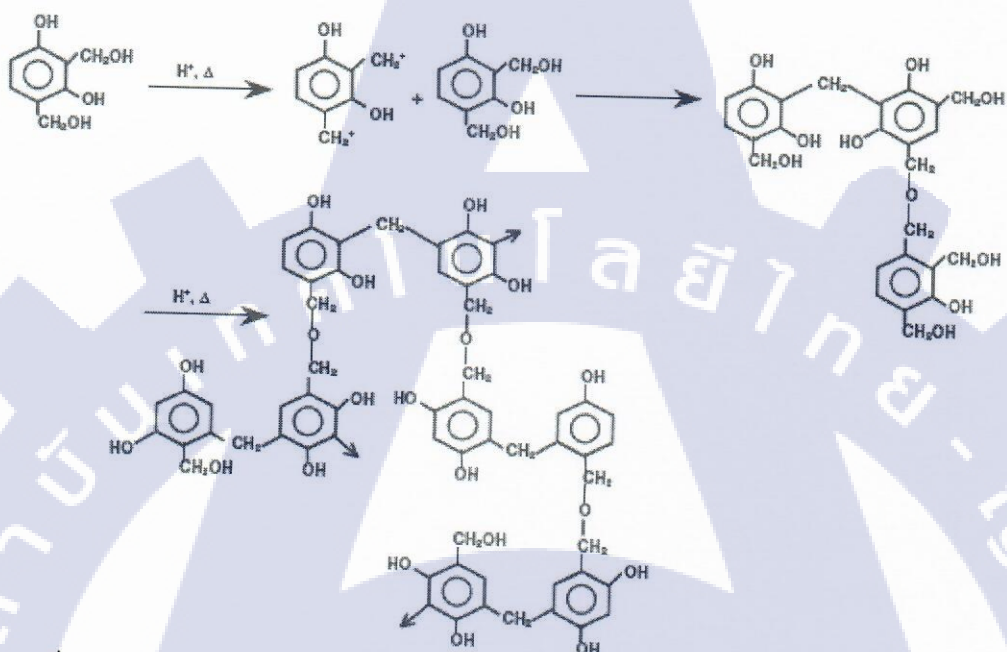
การแลกเปลี่ยนตัวทำละลาย เป็นขั้นตอนที่สำคัญในการสังเคราะห์รีซอร์ชินอลฟอร์มาลดีไฮด์ คาร์บอนเจล ทำได้โดยการเลือกตัวทำละลายอื่นที่มีค่าแรงตึงผิวน้อยกว่าตัวทำละลายที่อยู่ภายในรูพรุนของเจล การแลกเปลี่ยนตัวทำละลายก่อนการทำแห้ง จะช่วยลดแรงคายภัยในช่วงการทำแห้ง เป็นการลดโอกาสการเสียหายทางโครงสร้างของรูพรุน



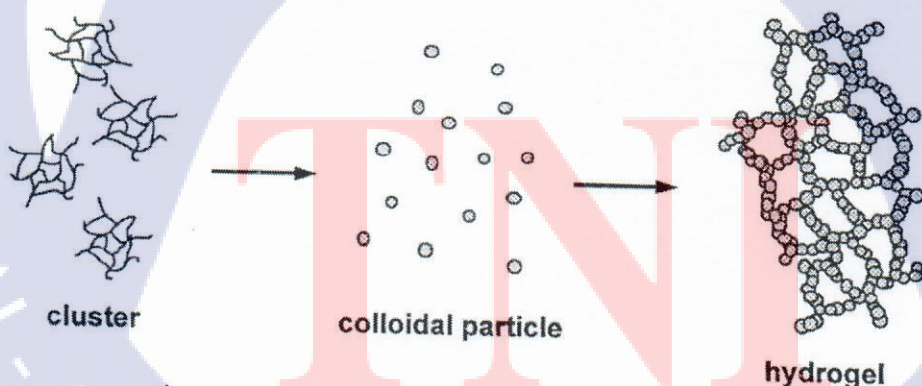
1. Addition Reaction



2. Condensation Reaction



รูปที่ 2.2 กลไกการเกิดปฏิกิริยาโพลีคอนเดนเซชันของเรซอร์ชินอลกับฟอร์มาลดีไฮด์ [17]



รูปที่ 2.3 การเติบโตของเรซอร์ชินอลฟอร์มาลดีไฮด์พอลิเมอร์ [17]

3) การบวนการทำแห้ง (Drying Process) [19]

เมื่อโซลกอลายเป็นเจลสมบูรณ์แล้ว ต้องมีการกำจัดตัวทำละลายที่ใช้เป็นตัวกลางในการเกิดปฏิกิริยา กระบวนการทำแห้งสามารถทำได้หลายวิธี ซึ่งจะมีผลต่อคุณสมบัติของวัสดุ ดังนั้นหากต้องการควบคุมคุณสมบัติของเจลอินทรีย์ที่มีโครงสร้างระดับนาโนเมตร ต้องพิจารณาเลือกรูปแบบการทำแห้งให้เหมาะสม กระบวนการทำแห้งที่ใช้กันอย่างแพร่หลาย ได้แก่

### 3.1) การทำแห้งแบบขั้นคริติกอล (Subcritical Drying) [16]

การทำแห้งวิธีนี้ เป็นการทำแห้งภายใต้สภาวะต่ำกว่าจุดวิกฤต อาศัยการระเหยของตัวทำละลาย จะเกิดผิวสัมผัสระหว่างของเหลว กับ ก๊าซ เกิดแรงตึงผิวของตัวทำละลาย ที่เป็นสาเหตุของการยุบตัวของโครงสร้างรูพรุน ทำให้วัสดุหดตัว และวัสดุที่ได้หลังจากการไฟโรไลซิสที่ผ่านวิธีการนี้ ส่วนใหญ่จะไม่มีรูพรุน เจลที่ทำแห้งด้วยวิธีนี้เรียกว่า ไซโรเจล (Xerogel) ตัวอย่างการทำแห้งด้วยวิธีนี้ เช่น การทำแห้งด้วยสูญญากาศ(Vacuum Drying) การทำแห้งด้วยการพาของอากาศ (Convective Air Drying) เป็นต้น

### 3.2) การทำแห้งแบบแข็ง (Freeze Drying)

การทำแห้งวิธีนี้ เป็นการทำให้ตัวทำละลายมีความเย็นจัด และถูกกำจัดออกด้วยการลดความดันลงจนระเหิดออกไป เป็นวิธีหนึ่งที่จะเลี่ยงการเกิดเฟสระหว่างของเหลว กับ ก๊าซ แต่จะทำให้เกิดการเปลี่ยนแปลงความหนาแน่นของเจลหลังจากการแข็งแข็ง อาจจะทำให้โครงสร้างระดับนาโนของพอลิเมอร์เกิดการบิดเบี้ยวไป จึงมักทำการแลกเปลี่ยนตัวทำละลายก่อนการทำเจลแห้ง ตัวทำละลายที่นิยมใช้มากที่สุดคือ เทอร์เทียร์บิวทานอล (t-butanol) เนื่องจากทำให้เกิดการเปลี่ยนแปลงความหนาแน่นของเจลเพียงเล็กน้อย และมีความดันไอสูงกว่าน้ำ จะช่วยลดเวลาในกระบวนการทำแห้ง ข้อดีของการทำแห้งด้วยวิธีนี้คือ ทำให้เกิดรูพรุนแบบเมโซพอร์ในปริมาณมาก ข้อเสีย คือ มีขั้นตอนที่ยุ่งยากมาก และมีโอกาสเกิดช่องว่างในโครงสร้างสูง เรียกเจลที่ทำแห้งด้วยวิธีนี้ว่า ไครโอะเจล (Cryogels)

### 3.3) การทำแห้งแบบเหนือวิกฤต (Supercritical Drying) [12]

การทำแห้งแบบนี้ เป็นการทำแห้งที่สภาวะเหนือจุดวิกฤต สามารถหลีกเลี่ยงการเกิดเฟสระหว่างของเหลว และ ก๊าซ ได้ เป็นวิธีที่ดีที่สุดในการรักษาโครงสร้างรูพรุนและคุณสมบัติของโครงสร้างที่เกิดระหว่างการสังเคราะห์เจล เรียกเจลที่ทำแห้งด้วยวิธีนี้ว่า แอโรเจล(Aerogel) การทำแห้งจะทำการอัดความดันและให้ความร้อนแก่เจลจนเกินความและอุณหภูมิวิกฤตของตัวทำละลาย หลังจากนั้นลดความดันจนถึงความดันบรรยายกาศ และลดอุณหภูมิจนถึงอุณหภูมิห้อง ซึ่งทำให้ตัวทำละลายอยู่ในสภาวะก้าดโดยไม่เกิดการกลับตัว

### 4) การไฟโรไลซิส (Pyrolysis) [17]

การไฟโรไลซ์หรือการคาร์บอไนเซชัน (Carbonization) คือ กระบวนการสลายตัวของชีวมวลด้วยความร้อนในสภาพอับอากาศ ใช้ในการเปลี่ยนเจลให้กล้ายเป็นคาร์บอนบริสุทธิ์โดยการกำจัดธาตุที่ไม่ใช่คาร์บอนออก ได้แก่ กลุ่มออกไซด์ (Oxide Group) และไฮโดรเจน (Hydrogen Group) ที่ตกค้างอยู่โดยใช้อุณหภูมิสูง เจลที่ผ่านกระบวนการนี้จะถูกเรียกว่า คาร์บอนเจล (Carbon Gel) โดยส่วนใหญ่จะทำในเตาปฏิกรณ์ (Tube Furnace) ภายใต้สภาวะกําชีวิอย เช่น ในโตรเจน อาร์กอน ไฮเลียม ที่อุณหภูมิห้องเป็นเวลา 1 ชั่วโมง เพื่อแทนที่อากาศภายในเตาด้วยกําชีวิอย และใช้ช่วงอุณหภูมิในการเผาที่ 600-1200 °C

## 2.4 การดูดซับ (Adsorption) [20, 21]

การดูดซับ เป็นกระบวนการที่เกิดขึ้นระหว่าง 2 เฟส โดยที่อะตอมหรือโมเลกุลที่อยู่บนผิวน้ำของตัวถูกดูดซับ (Adsorbate) ไปเกาะกับผิวน้ำของตัวดูดซับ (Adsorbent) ปัจจัยที่มีผลต่อการเกาะติดบนผิwtัวดูดซับของอะตอมหรือโมเลกุล ได้แก่

- 1) ความสามารถในการดูดซับ (Absorbability) สภาวะที่จะทำให้อะตอมหรือโมเลกุลสามารถเกาะยึดบนผิwtัวดูดซับได้นั้น ผิวน้ำของตัวดูดซับจะมีลักษณะเป็นรูพรุน (Capillary Tube)
- 2) ประจุบนพื้นผิวน้ำของตัวดูดซับ (Surface Charge) ประจุบนพื้นผิwtัวดูดซับจะดูดประจุที่มีข้าวตระหง่านมาเกาะติดที่ผิวด้วย

### 2.4.1 ประเภทของการดูดซับ

การดูดซับสามารถแบ่งออกได้ 2 ประเภท ได้แก่ การดูดซับทางเคมี และการดูดซับทางกายภาพ

- 1) การดูดซับทางเคมี (Chemical Adsorption) เป็นการดูดซับที่เกิดจากแรงดึงดูดทางพันธะเคมี จะเกิดขึ้นได้เมื่อตัวดูดซับและตัวถูกดูดซับทำปฏิกิริยา กัน จะมีการสร้างพันธะเคมีระหว่างตัวดูดซับแล้วตัวถูกดูดซับที่แข็งแรง มีพลังงานสูง จึงทำให้ตัวถูกดูดซับหลุดออกจากผิwtัวดูดซับได้ยาก
- 2) การดูดซับทางกายภาพ (Physical Adsorption) เป็นการดูดซับที่เกิดจากแรงแอลเดอร์瓦ลส์ ซึ่งเป็นแรงดึงดูดอ่อนๆ ทำให้การดูดซับประทับนิ่มการคายพลังงานความร้อนที่ค่อนข้างน้อย มันเกิดในสภาวะอุณหภูมิต่ำๆ และมีพลังงานการดูดซับต่ำ

### 2.4.2 ประเภทของสารดูดซับ

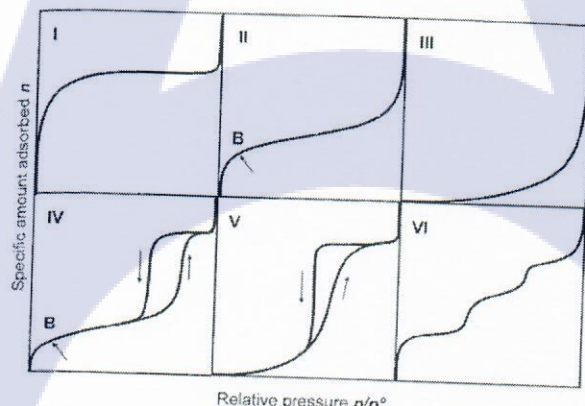
1) สารประเกอนินทรีย์ เป็นสารประกอบธรรมชาติ เช่น ออกไซด์ของโลหะต่างๆ ดินเหนียว มีพื้นที่ผิวประมาณ  $50-200 \text{ m}^2/\text{g}$  ตัวดูดซับประเกอนินทรีย์จะมีความสามารถในการดูดจับอะตอน หรือโมเลกุลได้ไม่กี่ชนิด

2) ถ่านกัมมันต์ (Activated Carbon) สารดูดซับประเกอนินทรีย์อาจผ่านการสังเคราะห์โดยกระบวนการทางเคมีหรือทางกายภาพ เพื่อให้เกิดรูพรุนในโครงสร้าง มีพื้นที่ผิวประมาณ  $600-1000 \text{ m}^2/\text{g}$  ขึ้นอยู่กับวัสดุที่นำมาทำเป็นถ่านกัมมันต์

3) สารอินทรีย์สังเคราะห์ สารดูดซับประเกอนินทรีย์สามารถนำกลับมาใช้งานใหม่ได้ เช่น ไอออน เอ็กซ์เชนเจอร์เรซิน (Ion Exchanger Resin) มีพื้นที่ผิวประมาณ  $300-5000 \text{ m}^2/\text{g}$

#### 2.4.3 ไอโซเทอร์มของการดูดซับ [13, 22]

ในการศึกษาความสัมพันธ์ระหว่างปริมาณของตัวถูกดูดซับกับความดันหรือความเข้มข้นของสารละลายที่สภาวะสมดุลของการดูดซับ ที่อุณหภูมิคงที่ ซึ่งเป็นปฏิกิริยาความร้อน ปัจจัยที่มีผลต่อการดูดซับ ได้แก่ อุณหภูมิ ความดัน หรือความเข้มข้นของสารถูกดูดซับ และชนิดของสารดูดซับ



รูปที่ 2.4 ไอโซเทอร์มของการดูดซับตามการจำแนกของ IUPAC [22]

ไอโซเทอร์มของการดูดซับทางกายภาพมีความหลากหลาย ขึ้นกับชนิดของตัวดูดซับและตัวถูกดูดซับ ตามหลักการแบ่งของ IUPAC แบ่งออกได้เป็น 6 ชนิด ดังนี้

**ชนิดที่ 1 (Type I)** เรียกว่า ไอโซเทอร์มแบบแลงเมียร์ (Langmuir) เป็นไอโซเทอร์มสำหรับการดูดซับแบบชั้นเดียวตามสมการของแลงเมียร์ มักจะพบในวัสดุที่มีพื้นที่ผิวภายนอกต่ำ เช่น ซีโอลิต หรือถ่านกัมมันต์ การดูดซับจะเกิดขึ้นอย่างรวดเร็วที่ความดันสัมพัทธ์ต่ำๆ และเกิดการอิมตัวอย่างรวดเร็วและคงที่ ไอโซเทอร์มของการดูดซับแบบนี้ เส้นกราฟของการดูดและการคายซ้อนกัน

**ชนิดที่ 2 (Type II)** เรียกว่า ไอโซเทอร์มแบบ S-Shaped มักเกิดกับวัสดุที่ไม่มีความพรุนหรือมีรูพรุนขนาดใหญ่ (Macro-Porous) ตำแหน่ง B เป็นตำแหน่งที่ผิวน้ำสารดูดซับถูกคลุมแบบชั้นเดียว เมื่อ

เพิ่มความดันสัมพัทธ์ การดูดซับจะเกิดขึ้นหลายชั้น การดูดซับแบบนี้ย้อนกลับได้ ไอโซเทอร์มของการดูดซับแบบนี้ เส้นกราฟของการดูดและการคายซ่อนกัน

**ชนิดที่ 3 (Type III)** ไอโซเทอร์มแบบนี้มีรูปร่างเหมือนกระเจ้า ไม่ค่อยพบมาก จะเกิดกับของแข็งที่มีรูพรุนขนาดเล็กเป็นส่วนใหญ่ ทำให้ดูดซับได้น้อย ที่ความดันสัมพัทธ์ต่ำๆจะเกิดการดูดซับแบบชั้นเดียว เช่น การดูดซับสารที่มีขั้วนวัสดุที่ไม่มีข้าว ที่ความดันสัมพัทธ์สูงๆจะเกิดการดูดซับแบบหลายชั้น จะเกิดแรงดึงดูดระหว่างตัวดูดซับด้วยกันเอง ทำให้ดูดซับได้มากขึ้น เช่น การดูดซับไอน้ำบนแทร์ฟิลด์

**ชนิดที่ 4 (Type IV)** มักจะพบในวัสดุที่มีรูพรุนขนาดกลาง(Meso-Porous) รูพรุนมีขนาดระหว่าง 2 ถึง 50 nm การดูดซับในช่วงแรกซึ่งมีความดันสัมพัทธ์ต่ำจะเหมือนกับไอโซเทอร์มชนิดที่ 2 แต่เมื่อความดันสัมพัทธ์เพิ่มสูงขึ้น การดูดซับจะเพิ่มขึ้นอย่างรวดเร็ว เนื่องจากเกิดการควบแน่นในรูพรุนแบบคปีลลารี(Capillary Condensation) ทำให้เกิดไฮสเตอเรซิส(Hysteresis loop) เส้นกราฟของการดูดซับและการคายซับจะไม่ทับกัน เพราะการคายซับเกิดได้ยากกว่า จึงต้องอาชานะแรงคปีลลารี

**ชนิดที่ 5 (Type V)** เมื่อกับชนิดที่ 4 ต่างกันเพียงการควบแน่นในรูพรุนในกรณีนี้เกิดขึ้นเมื่อความดันสัมพัทธ์สูงกว่า เนื่องจากอันตรกิริยาระหว่างสารถูกดูดซับและการดูดซับมีค่าต่ำ เกิดไฮสเตอเรซิส ไอโซเทอร์มชนิดนี้พับไม่ป่องนัก

**ชนิดที่ 6 (Type VI)** เรียกว่าเป็นไอโซเทอร์มแบบขั้นบันได พับได้ไม่ป่องนัก เกิดจากการดูดซับที่ละชั้นบนผิวน้ำที่มีหลายชั้นและมีความเป็นระเบียบสูง ความชันของเส้นกราฟจะขึ้นอยู่กับอุณหภูมิ

## 2.4 งานวิจัยที่เกี่ยวข้อง

ปรินทร์ เต็มญาศิลป์ [22] ศึกษาการเตรียมและการวิเคราะห์คุณลักษณะเฉพาะของถ่านกัมมันต์จากไผ่ตงและไผ่มาจู อายุ 1-3 ปี จากบริเวณจังหวัดกาญจนบุรี โดยวิธีกระตุ้นทางเคมี ซึ่งสารที่ใช้ในการกระตุ้น ได้แก่ กรด ฟอสฟอริก โพแทสเซียมไไฮดรอกไซด์ และ กรดไนตريك ผลของการศึกษาพบว่า สมบัติของถ่านกัมมันต์ ได้แก่องค์ประกอบแบบประมาณ และความสามารถในการดูดซับ ขึ้นอยู่กับพันธุ์และชนดของไม้ไผ่ ชนิดของสารกระตุ้น และสภาวะในการกระตุ้น ได้แก่ ความเข้มข้นของสารกระตุ้น และเวลาที่ใช้ในการกระตุ้น นอกจากนี้ได้ทำการศึกษาการดูดซับ แคดเมียม (II) สีย้อมเมทิลบูลู ฟินอล และไอโอดีนจากสารละลาย โดยถ่านกัมมันต์และถ่านไม้ไผ่ที่เตรียมได้ เปรียบเทียบกับถ่านกัมมันต์ และถ่านไม้ไผ่ ทางการค้า และยังได้ทำการศึกษาองค์ประกอบแบบประมาณ ได้แก่ ความชื้น เล้า สารระเหย และคาร์บอนคงตัว รวมถึง ได้อาศัยเทคนิคฟลูเรย์ทرانซ์ฟอร์มอินฟราเรด และ กล้องจุลทรรศน์อิเล็กตรอนแบบส่องกราด ในการศึกษาหมุ่ฟังก์ชันที่ผิวและโครงสร้างของถ่านกัมมันต์และถ่านไม้ไผ่

ปัญญา มนีจักร์ [23] ศึกษาการเตรียมถ่านคาร์บอไนซ์และถ่านกัมมันต์จากลูกหูกวาง ที่อุณหภูมิ 500 องศาเซลเซียส เป็นเวลา 1 ชั่วโมง เมื่อวิเคราะห์พื้นที่ผิวของการดูดซับในถ่านสังเคราะห์ทั้งสองชนิด พบว่า ผลที่ได้สอดคล้องกันคือ พื้นที่ผิวและรูพรุนของถ่านคาร์บอไนซ์มีขนาดเล็กกว่าถ่านกัมมันต์ และ

งานวิจัยนี้ยังได้ศึกษาผลของปริมาณตัวดูดซับ ขนาดของตัวดูดซับ ค่าความเป็นกรดด่าง อัตราเร็วของ และเวลาในการปั่นกวนที่มีผลต่อประสิทธิภาพของการดูดซับ นอกจากนี้ได้ศึกษากลไกการดูดซับด้วยไอโซเทอร์มแบบ Langmuir และแบบ Frunickinich ของการดูดซับของสารละลายน้ำอโอดีน จากกลไกการดูดซับไอโซเทอร์ม พบว่า  $R^2$  ของถ่านกัมมันต์จากกลุ่มทั่วไปอยู่ในช่วง 0.95-0.98 แสดงว่าการดูดซับของสารละลายน้ำอโอดีน ไม่ใช่แบบ Langmuir และถ่านกัมมันต์การค้าจะมีค่า  $R^2$  ของสารละลายน้ำอโอดีนและเมียร์ แสดงว่ากลไกการดูดซับของสารละลายน้ำอโอดีนเป็นแบบ Langmuir

J. Chaichanawong และคณะ [8] ศึกษาการเตรียมคาร์บอนไครโอเจลทรงกลมที่ปรับปรุงสภาพด้วยนิกเกิล (Ni/CCBs) ที่มีขนาดอนุภาคスマ่เสมอ โดยใช้วิธีการฉีดผ่านหลอดฉีดยาผ่านกระบวนการโซลเจลโพลิค่อนเดนเซชันของสารละลายรีซอร์ชินอลฟอร์มาลดีไฮด์ (RF Solution) โดยใช้นิกเกิลอะซิตेट (Ni acetate) เป็นตัวเร่งปฏิกิริยา จากนั้นตามด้วยกระบวนการแลกเปลี่ยนตัวทำละลาย (Solvent Exchange) การทำให้แห้งแบบแข็ง (Freeze Drying) และการทำคาร์บอนในเชิง (Carbonization) ในบรรยากาศของไนโตรเจน โดยศึกษาผลของความหนืดที่เพิ่มขึ้นในขณะเกิดโซลเจลโพลิค่อนเดนเซชันของสารละลายอาร์เอฟ ที่มีต่อการกระจายตัวของขนาดอนุภาคของ Ni/CCBs และลักษณะของรูพรุนที่เกิดขึ้น และศึกษาอิทธิพลของปริมาณนิกเกิลที่มีผลต่อสมบัติของรูพรุนของ Ni/CCBs ที่ได้พบว่า Ni/CCBs มีการกระจายตัวแบบสม่ำเสมอ (Monodispersed) เมื่อทำการฉีดสารละลายในช่วงเวลาเริ่มต้นปฏิกิริยาก่อนที่ความหนืดของสารละลายอาร์เอฟจะเพิ่มขึ้นอย่างรวดเร็ว และพบว่าสมบัติของรูพรุนของ Ni/CCBs ไม่ขึ้นกับความหนืดของสารละลายอาร์เอฟ ที่เพิ่มขึ้นอย่างรวดเร็ว และพบว่าสมบัติของรูพรุนของ Ni/CCBs จะลดลงเมื่อเพิ่มปริมาณนิกเกิล ในทางตรงกันข้ามปริมาตรมาโครพอร์จะเพิ่มขึ้นเมื่อเพิ่มปริมาณนิกเกิล โดยที่ขนาดของอนุภาคนิกเกิลที่กระจายในคาร์บอนเมททริกซ์จะอยู่ในช่วง 30-60 nm

T. Yamamoto และคณะ [24] ศึกษาการสังเคราะห์มอนอเดิสเพิร์สคาร์บอนไครโอเจล (MCC) ผ่านการเกิดอิมลัชันของสารละลายรีซอร์ชินอลฟอร์มาลดีไฮด์ โดยใช้เมมเบรนชนิด Shirasu porous glass (SPG membrane) เพื่อควบคุมขนาดของอนุภาค จากนั้นตามด้วยการทำแห้งแบบแข็ง และการไฟโรไลซ์ในบรรยากาศของแก๊สเฉียบ โดยศึกษาผลของขนาดรูพรุนของ SPG membrane คือในช่วงเส้นผ่าศูนย์กลางเฉลี่ย 1-10 μm และอุณหภูมิในการบ่มหลังจากเกิดเป็นอิมลัชันในช่วง 298-353 K ที่มีผลต่อการกระจายตัวของขนาดอนุภาค และสมบัติรูพรุนของการบอนไครโอเจลไมโครสเพิร์สที่สังเคราะห์ได้ซึ่งพบว่าขนาดเส้นผ่านศูนย์กลางเฉลี่ยของไมโครสเพิร์สสามารถควบคุมได้โดยการเปลี่ยนขนาดรูพรุนของ SPG membrane และสมบัติความคงทนของไมโครสเพิร์สสามารถปรับปรุงให้ดีขึ้นได้โดยการเพิ่ม

อุณหภูมิในการบ่มหลังจากเกิดเป็นอิมลัชัน โดยการเพิ่มอุณหภูมิในช่วง 298-353 K สามารถเพิ่มรูพรุนขนาดเมโซพอร์ได้ในช่วง  $0.21\text{-}1.22 \text{ cm}^3/\text{g}$

T. Horikawa และคณะ [25] ศึกษาการสังเคราะห์อาร์เอฟแอกซ์เจลที่มีรูปร่างทรงกลม ผ่านปฏิกิริยาอิมลัชันพอลิเมอร์เชิงของรีซอร์ซินอลกับฟอร์มาลดีไฮด์ในสารละลายเบส ตามด้วยการทำแห้งแบบเหนือวิกฤตโดยการบอนไดออกไซด์ และการคาร์บอนเซนท์ที่อุณหภูมิสูงภายใต้สภาวะไนโตรเจน โดยมีการศึกษาผลของการหนดของสารละลายอาร์เอฟ ที่มีผลต่อขนาดของอาร์เอฟคาร์บอนแอกซ์เจลที่เตรียมได้ ซึ่งจะเปลี่ยนความหนดของสารละลายอาร์เอฟโดยการเติมไชโคเลเอกเซนท์ประกอบด้วย surface-active agent ซึ่งพบว่าสามารถสังเคราะห์อาร์เอฟคาร์บอนแอกซ์เจลที่มีรูปร่างเป็นทรงกลมที่สมบูรณ์ ที่มีขนาดของอนุภาคในช่วง  $10\text{-}500 \text{ }\mu\text{m}$  โดยการเปลี่ยนความเข้มข้นของสารละลายอาร์เอฟ และพบว่าอาร์เอฟคาร์บอนแอกซ์เจลที่มีรูปร่างทรงกลมที่มีเส้นผ่านศูนย์กลางเฉลี่ย  $20 \text{ }\mu\text{m}$  จะมีพื้นที่ผิวประมาณ  $800 \text{ m}^2/\text{g}$  และรัศมีรูพรุนขนาดเมโซพอร์อยู่ที่  $1.78 \text{ nm}$

B. Babić และคณะ [26] ศึกษาการสังเคราะห์อาร์เอฟคาร์บอนไครอเจล ผ่านปฏิกิริยาโซลเจลพอลิค่อนเดนเซชันของรีซอร์ซินอลกับฟอร์มาลดีไฮด์ ตามด้วยการทำแห้งแบบแซ่ช์โดยมีการแลกเปลี่ยนตัวทำละลายกับ t-butanol ก่อนการทำแห้ง และการไฟโรไลซ์ในบรรยายกาศของแก๊สเฉื่อยจากการตรวจสอบคุณสมบัติของคาร์บอนไครอเจลโดยใช้เครื่องดูดซับแก๊สในไนโตรเจนพบว่ามีรูพรุนและพื้นที่ผิวที่สูง ( $500 \text{ m}^2/\text{g} < S_{\text{BET}} < 750 \text{ m}^2/\text{g}$ )

H. Tamon และคณะ [27] ศึกษาการสังเคราะห์อาร์เอฟแอกซ์เจลผ่านปฏิกิริยาโซลเจลพอลิค่อนเดนเซชันของรีซอร์ซินอลกับฟอร์มาลดีไฮด์ในสารละลายเบสอ่อน ตามด้วยการทำแห้งแบบเหนือวิกฤตโดยใช้การบอนไดออกไซด์ หลังจากนั้นนำไปไฟโรไลซ์ในบรรยายกาศของแก๊สเฉื่อย โดยมีการศึกษาผลของการเปลี่ยนปริมาณรีซอร์ซินอล ฟอร์มาลดีไฮด์ น้ำกัลล์ และโซเดียมคาร์บอเนต ที่ใช้ในปฏิกิริยาพอลิค่อนเดนเซชัน ที่มีต่อโครงสร้างของรูพรุนที่ได้ จากการวิเคราะห์คุณสมบัติโดยใช้เครื่องดูดซับแก๊สในไนโตรเจนพบว่า รัศมีของรูพรุนขนาดเมโซพอร์ของอาร์เอฟแอกซ์เจล สามารถควบคุมให้อยู่ในช่วง  $2.5\text{-}9.2 \text{ nm}$  โดยการเปลี่ยนอัตราส่วนโดยไม่ของรีซอร์ซินอลต่อโซเดียมคาร์บอเนต (R/C) และอัตราส่วนของรีซอร์ซินอลต่อน้ำกัลล์ (R/W) หลังจากการไฟโรไลซ์จะทำให้โครงสร้างรูพรุนเกิดการยุบตัว จะพบว่ารัศมีของรูพรุนขนาดเมโซพอร์ของคาร์บอนแอกซ์เจลจะอยู่ในช่วง  $2.0\text{-}6.1 \text{ nm}$  จากการนำคาร์บอนแอกซ์เจลไปทดสอบดูดซับอีเทน และเอทิลีน พบร่วมกับเพิ่มอุณหภูมิในการไฟโรไลซ์ จะทำให้ปริมาณอีเทนที่ถูกดูดซับมากกว่าเอทิลีน

X. Wang และคณะ [28] ศึกษาการสังเคราะห์คาร์บอนแอโรเจลไมโครสไฟเยอร์ผ่านปฏิกิริยาอินเวอร์สอิมัลชันพอลิเมอร์逆相 (Inverse emulsion polymerization) จากการศึกษาพบว่าขนาดอนุภาคและสมบัติของรูปทรงของคาร์บอนแอโรเจลไมโครสไฟเยอร์ขึ้นอยู่กับอัตราการปั่นกวน และความเข้มข้นของสารลดแรงตึงผิว ที่อยู่ในกระบวนการอิมัลชันพอลิเมอร์逆相 ซึ่งขนาดอนุภาคของคาร์บอนแอโรเจลไมโครสไฟเยอร์จะอยู่ในช่วง 2-50 μm โดยการปรับเปลี่ยนอัตราการปั่นกวน การปรับเปลี่ยนความเข้มข้นของสารลดแรงตึงผิว (SPAN80) จะส่งผลให้คาร์บอนแอโรเจลไมโครสไฟเยอร์ที่ได้มีพื้นที่ผิว  $S_{BET}$  414-603  $m^2/g$  และมีปริมาตรรูปทรงขนาดเมโซโพอร์ 0.028-0.432  $cm^3/g$  และจากผลของ cyclic voltammetry บ่งบอกว่าคาร์บอนแอโรเจลไมโครสไฟเยอร์ที่เตรียมที่อัตราการปั่นกวน 480 rpm และที่  $V_s/V_h = 0.01$  จะมีค่าความจุจำเพาะ (Specific capacitance) ของอิเล็กโทรดมากสุดถึง 180 F/g

M. Mirzaeian และ J. Hall [29] สังเคราะห์แอโรเจลอินทรีย์ โดยกระบวนการโซลเจลพอลิเมอร์逆相ของเรือร์ชินอล (R) กับฟอร์มาลดีไฮด์ (F) เร่งปฏิกิริยาด้วยโซเดียมคาร์บอเนต (C) ตามด้วยการทำแห้งแบบสูญญากาศ ได้ทำการศึกษาอิทธิพลของอัตราส่วนระหว่างเรือร์ชินอลกับโซเดียมคาร์บอเนต (R/C) ที่มีต่อโครงสร้างรูปทรงของแอโรเจลที่สังเคราะห์ได้ ทำการวัดการดูดซับ คายซับในไตรเจน และพบร้าแอโรเจลเมื่อการพัฒนาโครงสร้างแบบรูปทรงและเป็นรูปทรงแบบเมโซโพอร์เพิ่มขึ้นเมื่อเพิ่มอัตราส่วน R/C คาร์บอนแอโรเจลได้จากการทำการทำкар์บอในเชิงของอาร์เอฟแอโรเจล อุณหภูมิการการcarbอในเชิง ซึ่งอาจเกิดจากการเกิดขึ้นของรูปทรงแบบไมโครพอร์และการหดตัวของโครงสร้างเจล ซึ่งที่อุณหภูมิ 1073 K ส่งผลต่อโครงสร้างรูปทรงของเจลมากกว่าอุณหภูมิอื่น ถ่านกัมมันต์ได้จากการกระตันคาร์บอนแอโรเจลด้วย  $CO_2$

N. Job และคณะ [30] ศึกษาอิทธิพลของกระบวนการทำแห้งที่มีต่อสมบัติผิวของวัสดุคาร์บอนที่มีรูปทรงที่เกิดจากการทำแห้ง และไฟโรไลซิสวีเร้อร์ชินอล-ฟอร์มาลดีไฮด์เจล ลักษณะพื้นผิวรูปทรงของวัสดุขึ้นอยู่กับกระบวนการทำแห้ง โดยพบว่ากระบวนการทำแห้งแบบแซ่แจ็งจะทำให้พื้นผิวรูปทรงแบบไครอเจลเกิดรูปทรงขนาดใหญ่ (Megalopores) ความกว้างมากกว่า 10 μm ซึ่งเกิดจากผลลัพธ์แจ็งที่เกิดขึ้นระหว่างกระบวนการแซ่แจ็ง ซึ่งเป็นสาเหตุให้โครงสร้างรูปทรงเกิดการพังทลาย

R.W. Pekala [31] ได้ทำการสังเคราะห์แอโรเจลอินทรีย์จากการกระบวนการพอลิคิดเดนเซชันของเรือร์ชินอลกับฟอร์มาลดีไฮด์ภายใต้สภาพความเป็นด่าง เกิดเป็นกลุ่มก้อนของพอลิเมอร์แล้ว รวมตัวกัน

เป็นร่างแท้เกิดเป็นเจล และผ่านกระบวนการที่ทำภายใต้สภาวะเห็นอวิภูตเกิดเป็นแอโรเจลอินทรีย์ที่มีความหนาแน่นต่ำ ( $\leq 0.1 \text{ g/cm}^3$ ) แอโรเจลที่ได้มีสีแดงเข้มประกอบด้วยอนุภาคที่มีเส้นผ่าศูนย์กลางประมาณ 10 nm เชื่อมต่อกันอยู่ กลไกการเกิดปฏิกิริยาพอลิเมอร์เรซั่นโครงสร้าง และคุณสมบัติของรีซอร์ชินอลฟอร์มาลดิไฮด์แอโรเจลนั้นเหมือนกับกระบวนการโซลเจลของซิลิกา



## บทที่ 3

### การทดลอง

โครงการวิจัยนี้มุ่งเน้นการพัฒนากระบวนการสังเคราะห์คาร์บอนรูพรุนที่ไม่ซับซ้อนและมีประสิทธิภาพ รวมถึงศึกษาความเป็นไปได้ในการประยุกต์ใช้ผลิตภัณฑ์ที่ได้ในการดูดซับน้ำเสีย จึงแบ่งการทดลองออกเป็น 3 ส่วน ได้แก่

- 1) การสังเคราะห์ถ่านกัมมันต์จากเมล็ดมะขาม
- 2) การสังเคราะห์คาร์บอนแอโรเจลไมโครสเพียร์โดยวิธีการทำให้เกิดอิมัลชันผ่านการฉีดอย่างง่าย
- 3) การศึกษาความสามารถในการดูดซับฟินอล

#### 3.1 การสังเคราะห์ถ่านกัมมันต์จากเมล็ดมะขาม

##### 3.1.1 วัสดุและสารเคมี

- 1) เมล็ดมะขาม
- 2) น้ำกลั่น
- 3) ก๊าซไนโตรเจน ความบริสุทธิ์ 99.995%
- 4) โพแทสเซียมไฮดรอกไซด์ (KOH)

##### 3.1.2 อุปกรณ์และเครื่องมือที่ใช้ทำการวิจัย

- 1) เครื่องบด (Hummer mill)
- 2) ชุดตะแกรงร่อนแยกขนาดอนุภาคนา (ขนาด 500 – 1,000 ไมครอน)
- 3) บีกเกอร์
- 4) ข้องตักสาร
- 5) กระบอกตัว
- 6) แท่งกวนแม่เหล็ก
- 7) เครื่องปั่นกวน
- 8) อุปกรณ์ให้ความร้อน (Yellow line)
- 9) เตาเผาแบบท่อ (Tube Furnace)

##### 3.1.3 การสังเคราะห์ถ่านกัมมันต์จากเมล็ดมะขามโดยการกระตุ้นทางเคมี

ในการศึกษานี้เลือกใช้เมล็ดมะขามเป็นวัตถุดิบ และใช้การกระตุ้นทางเคมีด้วยโพแทสเซียมไฮดรอกไซด์ (KOH) เนื่องจากเป็นวิธีที่สะดวกและนิยมใช้ในการสังเคราะห์ถ่านกัมมันต์จากเศษวัสดุทางการเกษตร ขั้นตอนการสังเคราะห์ถ่านกัมมันต์โดยใช้เมล็ดมะขามเป็นวัตถุดิบโดยการกระตุ้นทางเคมีที่ใช้ในการศึกษานี้แสดงดังรูปที่ 3.1 โดยมีรายละเอียดดังต่อไปนี้



รูปที่ 3.1 ขั้นตอนการสังเคราะห์ถ่านกัมมันต์จากเมล็ดมะขามโดยการกระตุ้นทางเคมี

- 1) ทำความสะอาดเมล็ดมะขามหลายๆ ครั้งด้วยน้ำ และทำให้แห้ง โดยการอบที่ 100 °C เป็นเวลา 12 ชั่วโมง
- 2) เมื่อเมล็ดมะขามแห้งแล้ว ทำการบดเมล็ดมะขามให้มีขนาดอยู่ในช่วง 500-1000 μm
- 3) ทำการวิเคราะห์สมบัติแบบประมาณ (Proximate analysis) เพื่อตรวจสอบปริมาณความชื้น (Moisture content) ปริมาณสารระเหย (Volatile matter content) ปริมาณถ่าน (Ash content) และปริมาณคาร์บอนคงตัว (Fixed carbon content) ตามมาตรฐาน ASTM D-5142
- 4) ทำการวิเคราะห์ Thermo Gravimetric Analysis (TGA) เพื่อศึกษาพฤติกรรมการเผาไหม้ของเมล็ดมะขาม เพื่อเป็นข้อมูลในการเลือกสภาพการทดลองที่เหมาะสม

- 5) นำผงเม็ดมะขามผ่านกระบวนการไฟโรไลซิสในเตาเผาไฟฟ้าภายใต้บรรยากาศของก๊าช ในอุณหภูมิ  $800\text{-}1000^{\circ}\text{C}$  อัตราการไหลของก๊าช  $0.6\text{-}1.0 \text{ l/min}$  เป็นเวลา  $120\text{-}300 \text{ min}$
- 6) จากนั้นทำการกระตุนทางเคมีโดยใช้โพแทสเซียมไฮดรอกไซด์ ( $\text{KOH}$ , 75 w/w%) โดยใช้สัดส่วนของน้ำหนักสารบอนต่อน้ำหนักสารกระตุนเป็น 1:3
- 7) ทำการอบถ่านที่ผ่านการกระตุนด้วย  $\text{KOH}$  ให้แห้งที่  $300^{\circ}\text{C}$  เป็นเวลา 12 ชั่วโมง ได้ถ่านกัมมันต์

#### 3.1.4 การศึกษาคุณลักษณะของถ่านกัมมันต์

ทำการจำจัดก๊าซออกที่อุณหภูมิ  $300^{\circ}\text{C}$  ในสูญญากาศเป็นเวลา 10 h ก่อนนำสารตัวอย่างไปทำการวัดคุณสมบัติความพรุน การหาขนาดของรูพรุน ปริมาตรรูพรุน พื้นที่ผิวและการกระจายตัวของขนาดรูพรุนสามารถวิเคราะห์โดยใช้อิโซเทอร์มของการดูดซับก๊าซในอุตสาหกรรมที่  $196^{\circ}\text{C}$  โดยใช้เครื่องดูดซับก๊าซในอุตสาหกรรม (Quantachrome Autosorb-1) โดยหาพื้นที่ผิวจำเพาะจากสมการบีเอที (BET) โดยอาศัยข้อมูลอิโซเทอร์มการดูดซับของในอุตสาหกรรม ทำการกระจายตัวของขนาดรูพรุนเมโซพอร์ และปริมาตรรูพรุนแบบเมโซพอร์ ( $V_{mes}$ ) จากข้อมูลอิโซเทอร์มการคายซับของในอุตสาหกรรม และคำนวณด้วยสมการของบาร์เจอเรช (Barret-Joyner-Halenda) และหาปริมาตรรูพรุนแบบไมโครพอร์ ( $V_{mic}$ ) ด้วยวิธีที-พล็อต ( $t$ -plot) ในอิโซเทอร์มการดูดซับของในอุตสาหกรรมในการศึกษานี้ใช้คำจำกัดความของรูพรุนขนาดกลาง ( $r_p = 1\text{-}25 \text{ nm}$ ;  $r_p$  คือ รัศมีรูพรุน) และรูพรุนขนาดเล็ก ( $r_p < 1 \text{ nm}$ ) ตาม IUPAC

### 3.2 การสังเคราะห์คาร์บอนแอโรเจลไมโครสเพียร์โดยวิธีการทำให้เกิดอิมัลชันผ่านการฉีดอย่างง่าย

#### 3.2.1 วัสดุและสารเคมี

- 1) รีซอร์ชินอล ( $\text{C}_6\text{H}_4(\text{OH})_2$  จากบริษัท Fluka)
- 2) ฟอร์มาลดีไฮด์ ( $\text{HCHO}$  จากบริษัท RCI Labscan)
- 3) โซเดียมคาร์บอเนต ( $\text{Na}_2\text{CO}_3$  จากบริษัท Ajax Finechem)
- 4) Span80 ( $\text{C}_{24}\text{H}_{44}\text{O}_6$  จากบริษัท SIGMA)
- 5) ไซโคลເເກເຊັນ ( $\text{C}_6\text{H}_{12}$  จากบริษัท RCI Labscan)
- 6) อะซิโตິນ ( $\text{CH}_3\text{COCH}_3$  จากบริษัท RCI Labscan)
- 7) น้ำกลั่น
- 8) พีนอล ( $\text{C}_6\text{H}_5\text{OH}$ )
- 9) ก๊าซคาร์บอนไดออกไซด์ ความบริสุทธิ์ 99.95%

10) ก้าช์ในโตรเจน ความบริสุทธิ์ 99.995%

### 3.2.2 อุปกรณ์และเครื่องมือที่ใช้ทำการวิจัย

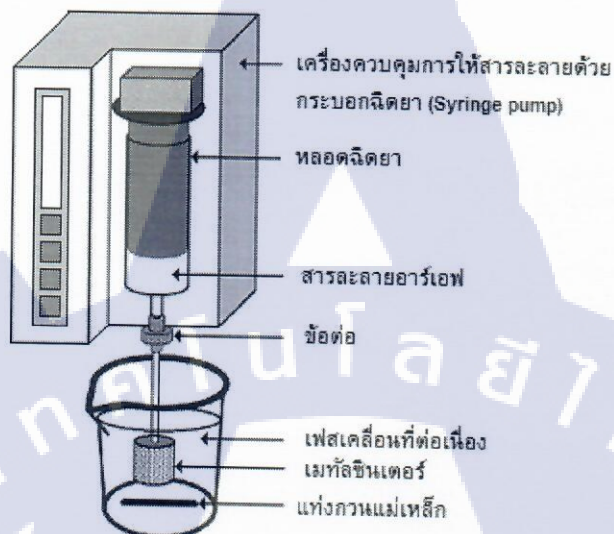
- 1) บีกเกอร์
- 2) ข้อนตักสาร
- 3) ระบบบอกรหัส
- 4) แท่งกวานแม่เหล็ก
- 5) Viscometer แบบ Cannon-Fenske Routine
- 6) หลอดฉีดยา
- 7) เมทัลชินเตอร์ (ขนาดเส้นผ่านศูนย์กลางเฉลี่ยของรูพรุน 10 μm)
- 8) เครื่องควบคุมการให้สารละลายด้วยระบบบอกรหัส (KD Scientific)
- 9) เครื่องปั่นกวาน
- 10) อุปกรณ์ให้ความร้อน (Yellow line)
- 11) เครื่องปฏิกรณ์แบบกะทันความดันสูง (รุ่น Taiatsu Techno/Japan SUS316 ความจุ 15 ml)
- 12) ปั๊มความดันสูง (ISCO Syringe Pump Model 260D/USA)
- 13) เตาเผาแบบท่อ (Tube Furnace)
- 14) เครื่องเขย่าข่านนิดควบคุมอุณหภูมิ

### 3.2.3 การเตรียมคาร์บอนแอโรเจลไมโครสไฟเยอร์

ในการทดลองนี้ได้กำหนดอัตราส่วนของเรซอร์ชินอลต่อฟอร์มาลดีไฮด์ (R/F) และเรซอร์ชินอลต่อน้ำ (R/W) เป็น 0.5 mol/mol และ 0.25 g/cm<sup>3</sup> ตามลำดับ ขณะที่อัตราส่วนของเรซอร์ชินอลต่อโซเดียมкар์บอนเนต (R/C) ถูกกำหนดไว้ที่ 50 mol/mol การสังเคราะห์carbon แอโรเจลไมโครสไฟเยอร์ โดยวิธีการทำให้เกิดอิมัลชันผ่านการฉีดอย่างง่าย มีรายละเอียดขั้นตอนการทำดังนี้

- 1) เตรียมสารละลายอาร์เอฟ โดยการผสมเรซอร์ชินอลในน้ำกลั่น เติมโซเดียมкар์บอนเนต และเติมฟอร์มาลดีไฮด์ ผสมให้เข้ากันตามอัตราส่วนข้างต้น จากนั้นนำสารละลายอาร์เอฟที่เตรียมได้ไปปั่น กวนทิ้งไว้ที่ 25 °C เป็นเวลา 1 ชั่วโมง
- 2) นำสารละลายอาร์เอฟที่ได้ไปฉีดผ่านเมทัลชินเตอร์ลงไปในเฟสต่อเนื่อง (ไซโคลอิกเซนท์ ประกอบด้วย Span 80 ประมาณร้อยละ 7 โดยน้ำหนัก) โดยใช้เครื่องควบคุมการให้สารละลายด้วยระบบบอกรหัส (Syringe Pump) ด้วยอัตราการฉีด 0.50 ml/h โดยใช้เครื่องมือตามแบบจำลองที่แสดงใน

รูปที่ 3.2 ส่วนเฟสต่อเนื่องนั้นจะปั่นกวนด้วยอัตรา 180 rpm อุณหภูมิของสารละลายนาร์ເອີມໃນระหว่างการฉีดควบคุมไว้ที่ 25 °C



รูปที่ 3.2 เครื่องมือที่ใช้ในการสังเคราะห์คาร์บอนแอโรเจลไมโครสเพียร์

- 3) หลังจากฉีดเสร็จ นำอิมัลชัน (Emulsion) ที่ได้ไปปั่นกวนทิ้งไว้ที่ 25 °C ด้วยอัตราเร็วเท่าเดิม เป็นเวลา 24 ชั่วโมงเพื่อให้เกิดเป็นเจลสมบูรณ์
- 4) เมื่อครบ 24 ชั่วโมง ทำการแยกnar์ເອີມໄຂໂດຣເຈລໄມໂຄຣສເພີຍຮອກຈາກເຟສຕ່ອນນີ້ໂດຍການປັ້ງເໝັ້ງສູນຍ (Centrifugation) ແລະນຳໄປແໜ້ນອະນິຕົນເປັນເວລາ 24 ชັ້ງໂມງ ເພື່ອແລກເປີ່ຍນຕົວທຳລະລາຍກັບນໍ້າກາຍໃນຽຸພຽນ ຂັ້ນຕອນນີ້ຈະທຳຫັ້ງ 3 ຄຽ້ງ
- 5) ຈັກນັ້ນນໍາເຈົ້າທີ່ຜ່ານຂັ້ນຕອນກາຮັກແລກເປີ່ຍນຕົວທຳລະລາຍເຮັບຮ້ອຍແລ້ວໄປທຳແທ້ງແບບເໜືອວິກຖຸດ ໂດຍໃໝ່ການບອນໄດ້ອາກໃຊ້ດໍ ທີ່ອຸນຫຼວມ 45 °C ຄວາມດັນ 100 bar ຈະໄດ້ນາຽຸພຽນໄມໂຄຣສເພີຍຮົມ
- 6) ນໍານາຽຸພຽນໄມໂຄຣສເພີຍຮົມໄປຜ່ານກະບວນກາຮັກບອນເນື່ອເຊັ້ນ ໃນເຕາເພາທີ່ອຸນຫຼວມ 1000 °C ປຶ້ງຈະໄດ້ການບອນແລກເຈົ້າທີ່ໄມ້ກຳນົດກຳນົດ
- 7) ທຳມານຂັ້ນຕອນທີ່ 1-6 ໂດຍປັບປຸງເວລາປ່ານໍກ່ອນກາຮັກບອນເນື່ອເຊັ້ນ 2, 3 ແລະ 4 ຊົ່ວໂມງ
- 8) ທຳມານຂັ້ນຕອນທີ່ 1-6 ໂດຍປັບປຸງອັດຕະການກາຮັກບອນເນື່ອເຊັ້ນ 0.25, 0.75 ແລະ 1.00 mL/h

- 9) ทำการขึ้นต่อนที่ 1-6 โดยปรับเปลี่ยนอัตราการปั่นกวนของเฟสต่อเนื่องเป็น 260 360 และ 450 rpm

### 3.2.4 การศึกษาคุณลักษณะของคาร์บอนแอโรเจลไมโครสเพียร์

คาร์บอนแอโรเจลไมโครสเพียร์ถูกนำมาวิเคราะห์โดยใช้กล้องจุลทรรศน์อิเล็กตรอนแบบส่องgranat (SEM) โดยขนาดอนุภาคและการกระจายตัวของขนาดอนุภาค ถูกวัดจากภาพสัมฐานวิทยาโดยใช้โปรแกรม ImageJ ในการ衡量ขนาดของรูพรุน ปริมาตรรูพรุน พื้นที่ผิวและการกระจายตัวของขนาดรูพรุน สามารถวิเคราะห์โดยใช้อิโซ เทอร์มของการดูดซับแก๊สในไตรเจนที่  $-196^{\circ}\text{C}$  โดยใช้เครื่องดูดซับก๊าซในไตรเจน (Quantachrome Autosorb-1) ทำการจำจัดกําชອอกที่อุณหภูมิ  $300^{\circ}\text{C}$  ในสุญญาากาศเป็นเวลา 10 h ก่อนนำสารตัวอย่างไปทำการวัดคุณสมบัติความพรุน โดยหาพื้นที่ผิวจำเพาะจากสมการบีที (BET) โดยอาศัยข้อมูลไอโซเทอร์มการดูดซับของไนโตรเจน ทำการกระจายตัวของขนาดรูพรุนเมโซพอร์ และปริมาตรรูพรุนแบบเมโซพอร์ ( $V_{mes}$ ) จากข้อมูลไอโซเทอร์มการคายซับของไนโตรเจน แล้วคำนวณด้วยสมการของบีเจเอช (Barret-Joyner-Halenda) และหาปริมาตรรูพรุนแบบไมโครพอร์ ( $V_{mic}$ ) ด้วยวิธีที-พล็อต (t-plot) ในไอโซเทอร์มการดูดซับของไนโตรเจน

### 3.3 การศึกษาความสามารถในการดูดซับฟีโนอล

#### 3.3.1 การทดลองดูดซับฟีโนอลด้วยคาร์บอนแอโรเจลไมโครสไฟเยอร์

นำคาร์บอนแอโรเจลไมโครสไฟเยอร์ที่เตรียมโดยใช้เวลาบ่มก่อนการฉีด 1 ชั่วโมง อัตราการฉีด 0.5 ml/h และอัตราการปั่นกวนที่ 180 rpm ที่ได้จากหัวข้อ 3.2 มาทำการทดลองดูดซับฟีโนอล โดยมีขั้นตอนดังนี้

- 1) ซั่งคาร์บอนแอโรเจลไมโครสไฟเยอร์ปริมาณ 0.05 g ใส่ลงในสารละลายฟีโนอลที่มีความเข้มข้น 100 mg/l ปริมาณ 25 ml ในขวดแก้วที่มีฝาปิดมิดชิด จำนวน 7 ขวด
- 2) นำไปเขย่าด้วยเครื่องเขย่าที่ความเร็วรอบ 150 รอบ/นาที อุณหภูมิ 30 °C ทำการเก็บตัวอย่างที่เวลา 30 60 90 120 240 420 และ 720 min
- 3) แยกตัวดูดซับออกจากสารละลายโดยใช้การกรองด้วยกระดาษกรอง
- 4) นำสารละลายที่ผ่านการแยกตัวดูดซับแล้ว ไปวิเคราะห์หาปริมาณฟีโนอลที่ทำการดูดซับต่างๆ ด้วยเครื่องวัดการดูดกลืนแสง (UV-VIS Spectrophotometer ยี่ห้อ Milton Roy)

#### 3.3.2 การคำนวณหาปริมาณของฟีโนอลที่ถูกดูดซับ

การหาปริมาณของฟีโนอลที่ถูกดูดซับโดยคาร์บอนแอโรเจลไมโครสไฟเยอร์ที่เวลาใดๆ หาได้จากความเข้มข้นของฟีโนอลในสารละลายที่เวลาเริ่มต้น และความเข้มข้นของฟีโนอลที่เหลืออยู่ในสารละลายที่เวลาใดๆ ดังสมการ (3.1) และสมการประสิทธิภาพการดูดซับ สมการ (3.2) และ สมการประสิทธิภาพการดูดซับที่สมดุล และสมการ (3.3) และสมการประสิทธิภาพการกำจัด

$$q_t = \frac{(C_0 - C_t)V}{m} \quad (3.1)$$

$$q_e = \frac{(C_0 - C_e)V}{m} \quad (3.2)$$

$$\% \text{removal} = \frac{(C_0 - C_e)}{C_0} \times 100 \quad (3.3)$$

โดยที่

$C_0$  = ความเข้มข้นของฟีโนอลในสารละลายที่เวลาเริ่มต้น (mg/l)

$C_e$  = ความเข้มข้นของฟีโนอลที่เหลืออยู่ในสารละลายที่สมดุล (mg/l)

$q_t$  = ปริมาณฟีนอลที่ถูกดูดซับด้วยโดยการบ่อนแอโรเจลไมโครสเพียร์ที่เวลาใดๆ (mg/g)

$q_e$  = ปริมาณฟีนอลที่ถูกดูดซับด้วยโดยการบ่อนแอโรเจลไมโครสเพียร์ที่สมดุล (mg/g)

%removal = เปอร์เซ็นต์การกำจัด

$C_t$  = ความเข้มข้นของฟีนอลที่เหลืออยู่ในสารละลายที่เวลาใดๆ (mg/l)

$V$  = ปริมาตรของสารละลาย (l)

$m$  = น้ำหนักของการบ่อนแอโรเจลไมโครสเพียร์ (กรัม)



## บทที่ 4

### ผลการทดลองและการวิเคราะห์ผล

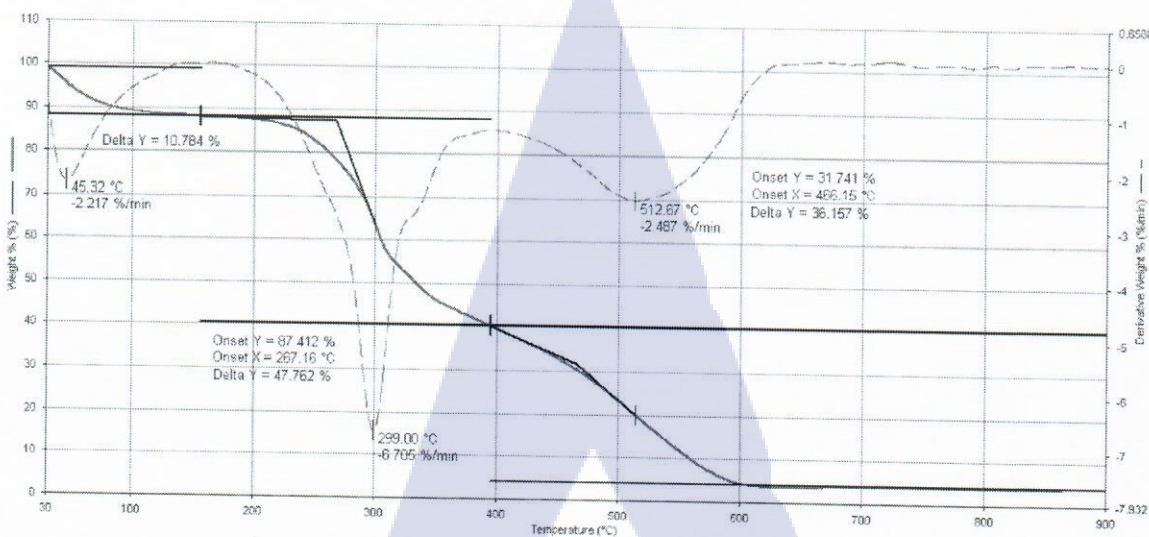
#### 4.1 การสังเคราะห์ถ่านกัมมันต์จากเมล็ดมะขาม

ตารางที่ 4.1 แสดงผลจากการวิเคราะห์แบบประมาณ (Proximate analysis) ของเมล็ดมะขาม พบว่าเมล็ดมะขามมีความเหมาะสมในการนำมาใช้เป็นวัตถุติดในการผลิตถ่านกัมมันต์เนื่องจากปริมาณคาร์บอนคงตัวสูงและปริมาณชี้เล้าต่ำ เมื่อเทียบกับเศษวัสดุทางธรรมชาติอื่นๆ

ตารางที่ 4.1 ผลการวิเคราะห์แบบประมาณ (Proximate analysis) ของเมล็ดมะขาม

Description	Amount (wt %)
Moisture Content	12.48
Volatile Matter	2.90
Ash Content	0.45
Fixed Carbon Content	84.17

รูปที่ 4.1 แสดงกราฟ TG-DTG จากการวิเคราะห์ Thermo Gravietric Analysis ของเมล็ดมะขาม ในช่วงอุณหภูมิ 30-160 °C น้ำหนักของสารตัวอย่างมีการเปลี่ยนแปลงไปเล็กน้อยประมาณ 10% การเปลี่ยนแปลงอย่างมีนัยสำคัญในช่วงอุณหภูมิ 160-400 °C และ 400-510 °C เนื่องจากสารระเหยและสารประกอบอื่นๆ ในเมล็ดมะขามมีการระเหยออก ในช่วงสุดท้ายของการเปลี่ยนแปลงน้ำหนักที่อุณหภูมิในช่วง 600-900 °C พบว่าไม่มีการเปลี่ยนแปลงอย่างมีนัยสำคัญ เป็นผลมาจากการตัวอย่างเหลือเพียงคาร์บอนคงตัวหลงเหลืออยู่ จึงสามารถสรุปได้ว่า การкар์บอไนเซชันและการกราดตื้นถ่านกัมมันต์ควรดำเนินการในช่วงอุณหภูมิ 800-1000 °C ดังนั้นในงานวิจัยนี้จึงกำหนดอุณหภูมิการкар์บอไนเซชันในช่วงอุณหภูมิดังกล่าว



รูปที่ 4.1 ผลการวิเคราะห์ TG-DTG ของเมล็ดมะขาม

ตารางที่ 4.2 แสดงสมบัติรูพรุนของถ่านกัมมันต์ที่สังเคราะห์จากจำพวกเมล็ดมะขามที่สภาวะต่างๆ จากผลการศึกษาพบว่าพื้นที่ผิวจำเพาะ ( $S_{BET}$ ) และปริมาตรรูพรุนรวมของถ่านกัมมันต์ลดลงเมื่ออุณหภูมิไฟโรไลซิสมีการเพิ่มขึ้น เนื่องจากเกิดการเผาทำลายคาร์บอนเกินกว่าเกณฑ์ที่อุณหภูมิสูง ทำให้เกิดการขยายและมีการทำลายรูพรุน ดังนั้นความพรุนจึงลดลง เวลาการไฟโรไลซิสและอัตราการไหลดของก้าชตัวพำไม่แสดงผลกระทบที่มีนัยสำคัญต่อพื้นที่ผิวจำเพาะ ( $S_{BET}$ ) และปริมาตรรูพรุนของถ่านกัมมันต์ สภาวะที่ดีที่สุดสำหรับการผลิตถ่านกัมมันต์จากเมล็ดมะขามก่อนการกระตุ้น ได้แก่ การคาร์บอในเชื้อนที่อุณหภูมิ 800 °C ที่อัตราการไหลดของก้าชในโตรเจน 0.9 l/min เป็นเวลา 120 นาที ซึ่งมีพื้นที่ผิวจำเพาะ ( $S_{BET}$ ) เท่ากับ  $18.9 \text{ m}^2/\text{g}$  นอกจากนี้คุณสมบัติรูพรุนสามารถปรับปรุงด้วยการกระตุ้นทางเคมีโดยใช้โพแทสเซียมไฮดรอกไซด์ (KOH) อย่างไรก็ตามสมบัติรูพรุนของถ่านกัมมันต์ที่ได้จากการวิจัยนี้ค่อนข้างต่ำ เมื่อเทียบกับถ่านกัมมันต์จากเศษวัสดุทางธรรมชาติอื่นๆ เป็นผลมาจากการเกิดtar (Tar) ที่มักจะเกิดขึ้นระหว่างการคาร์บอในเชื้อนในช่วง (200-300 °C) ซึ่งอาจมีการดูดซับหรือเกิดปฏิกิริยากับผลิตภัณฑ์ที่ได้จากการคาร์บอในเชื้อน สองผลให้ถ่านกัมมันต์มีความพรุนลดลง ทั้งนี้ Foo และ Lee [32] ได้เสนอแนะว่า การกระตุ้นทางเคมีก่อนการคาร์บอในเชื้อนเพื่อชะล้างองค์ประกอบทางเคมีที่เป็นสาเหตุให้เกิดtarขึ้นได้ จะสามารถช่วยลดการเกิดtarระหว่างการคาร์บอในเชื้อนและช่วยให้มีสมบัติรูพรุนที่ดีขึ้นได้

ตารางที่ 4.2 สมบัติรูปรุนในเงื่อนไขการทดลองของถ่านกัมมันต์

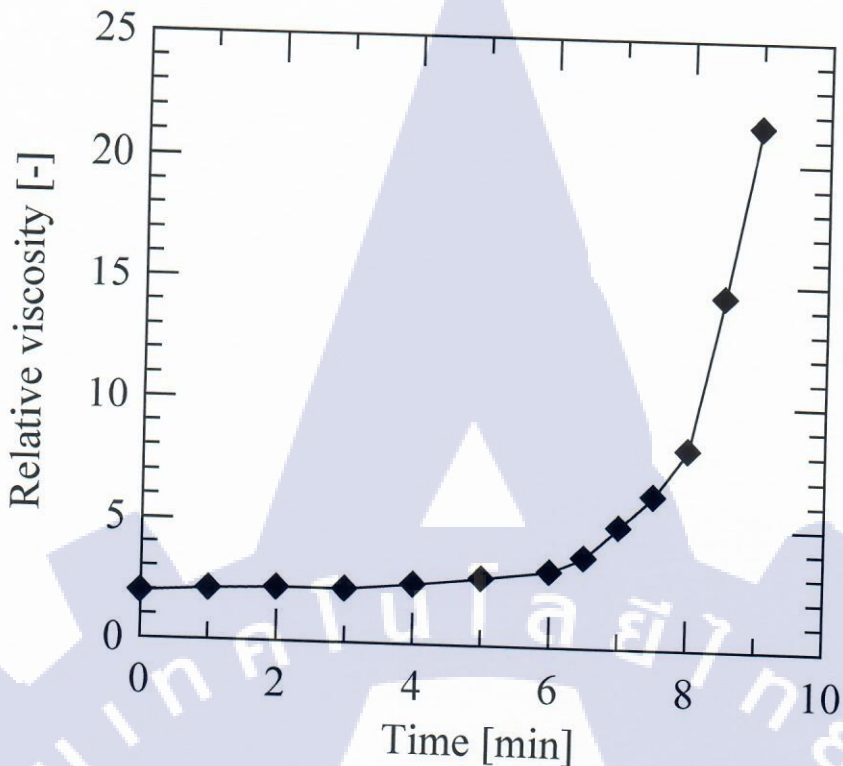
No.	Conditions				Porous Properties			
	Temp. [°C]	Gas flow rate [l/min]	Carbonization time [min]	Activatio n method	S <sub>BET</sub> [m <sup>2</sup> /g]	V <sub>total</sub> [cm <sup>2</sup> /g]	V <sub>micro</sub> [cm <sup>2</sup> /g]	V <sub>meso</sub> [cm <sup>2</sup> /g]
1	800	0.9	240	-	14.9	0.02	-	0.02
2	900	0.9	240	-	12.8	0.04	-	0.02
3	1,000	0.9	240	-	10.3	0.02	-	0.02
4	800	0.6	240	-	14.5	0.04	-	0.03
5	800	1.0	240	-	9.4	0.02	0.001	0.01
6	800	0.9	120	-	18.9	0.03	-	0.02
7	800	0.9	300	-	18.2	0.02	0.004	0.02
8	800	0.9	240	KOH	135.5	0.08	0.050	0.03

#### 4.2 การสังเคราะห์คาร์บอนแอโรเจลไมโครสเฟียร์โดยวิธีการทำให้เกิดอิมัลชันผ่านการฉีดอย่างง่าย

งานวิจัยนี้ได้ทำการสังเคราะห์คาร์บอนแอโรเจลไมโครสเฟียร์ โดยใช้วิธีการทำให้เกิดอิมัลชันผ่านการฉีดอย่างง่าย เพื่อให้ได้คาร์บอนแอโรเจลที่มีรูปร่างเป็นทรงกลม และศึกษาอิทธิพลของสภาวะในการสังเคราะห์ ได้แก่ เวลาบ่มก่อนการฉีด 1 2 3 และ 4 ชั่วโมง อัตราการฉีด 0.25 0.50 0.75 และ 1.00 ml/h และอัตราการปั่นกวนของเฟสต่อเนื่อง 180 260 360 และ 450 rpm ที่มีผลต่อขนาดอนุภาคและสมบัติรูปรุนของคาร์บอนแอโรเจลไมโครสเฟียร์ที่สังเคราะห์ได้ โดยทำการวิเคราะห์หาขนาดอนุภาคโดยใช้กล้องจุลทรรศน์อิเล็กตรอนแบบส่องกราด (SEM) ขนาดอนุภาคและการกระจายตัวของขนาดอนุภาค ถูกวัดจากภาพสัณฐานวิทยาโดยใช้โปรแกรม ImageJ สมบัติรูปรุนของคาร์บอนแอโรเจลไมโครสเฟียร์ถูกวิเคราะห์ด้วยเครื่องคุณภาพซึ่งในต่อไปนี้จะนำเสนอเพื่อศึกษาความสามารถในการดูดซับ และเปรียบเทียบกับความสามารถในการดูดซับฟื้นออลของถ่านกัมมันต์เชิงการค้า

##### 4.2.1 อิทธิพลของเวลาบ่มก่อนการฉีดต่อขนาดของอนุภาคและสมบัติของรูปรุน

จากการทดลองหาค่าความหนืดของสารละลายน้ำที่เปลี่ยนแปลงไป เมื่อเวลาเพิ่มขึ้นโดยใช้ Viscometer แบบ Cannon-Fenske Routine หากค่าความหนืดสัมพัทธ์ (เทียบกับน้ำ) ซึ่งการเปลี่ยนแปลงความหนืดของสารละลายน้ำที่ 25 °C เมื่อเวลาเพิ่มขึ้น ได้แสดงในรูปที่ 4.2

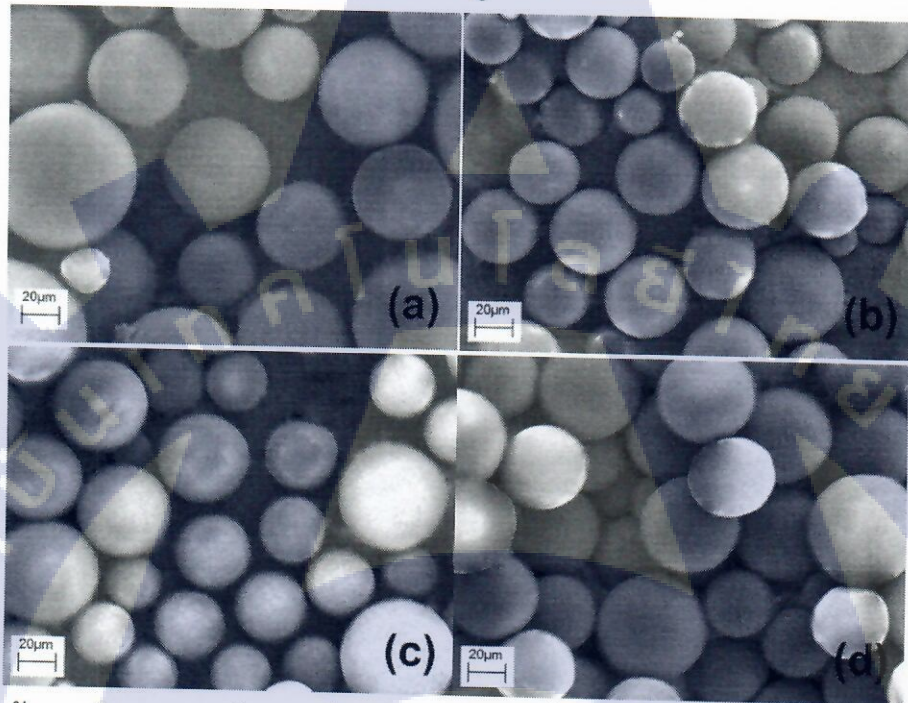


รูปที่ 4.2 การเปลี่ยนแปลงความหนืดสัมพัทธ์ของสารละลายน้ำอะคริลิกอ่อนที่  $25\text{ }^{\circ}\text{C}$  (เมื่อเทียบกับน้ำ)

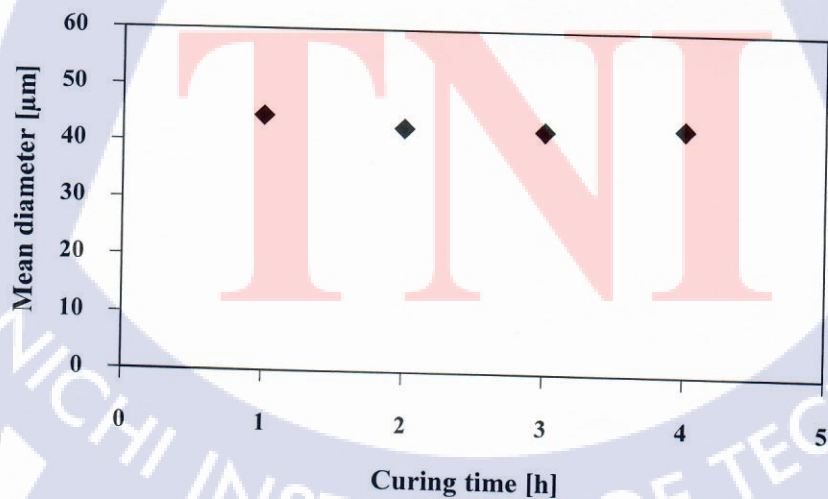
จากการทดลอง สารละลายน้ำอะคริลิกอ่อนมีความหนืดเพิ่มขึ้นอย่างช้าๆ ในช่วงแรก เมื่อเวลาผ่านไป 7 ชั่วโมง ความหนืดจะเพิ่มขึ้นอย่างรวดเร็ว สารละลายน้ำอะคริลิกอ่อนจะเริ่ม凝胶 เป็นเจล เนื่องจากเกิดปฏิกิริยา โซลเจลโพลิคอนเดนเซชัน ซึ่งประกอบด้วย 2 ปฏิกิริยาหลัก (1) ปฏิกิริยาการเติม ของฟอร์มาลดีไฮด์ ลงบนวงแหวนอะโรมาติกของรีซอร์ชินอล เกิดเป็นอนุพันธ์ของไฮดรอกซีเมทิล (Hydroxymethyl derivatives) และ (2) ปฏิกิริยาคอนเดนเซชัน ของอนุพันธ์ของไฮดรอกซีเมทิลที่เกิดขึ้น เกิดเป็นสารประกอบที่เชื่อมต่อ กันด้วยพันธะเมทธิลีนบริดจ์ (Methylene bridges, -CH<sub>2</sub>-) และเมทธิลีน อีเทอร์บริดจ์ (Methylene ether bridges, -CH<sub>2</sub>OCH<sub>2</sub>-) ปฏิกิริยาจะเกิดขึ้นอย่างต่อเนื่อง เกิดเป็นโครงสร้างร่างแท้ของโพลิเมอร์ กล้ายเป็นคอลลอยด์ที่เรียกว่า โซล และจะฟอร์મตัวกล้ายเป็นเจล ดังแสดงในรูปที่ 2.2 และ 2.3

ภาพสัมฐานวิทยาของสารบอนแอโรเจลไมโครสไฟเยอร์ที่สังเคราะห์ได้ จากการเตรียมโดยใช้เวลาบ่มก่อนการฉีดสารละลายน้ำอะคริลิกอ่อน เมทัลชินเตอร์ 1 2 3 และ 4 ชั่วโมง โดยใช้อัตราการฉีด 0.5 ml/h และอัตราการปั่นกวนที่ 180 rpm แสดงในรูปที่ 4.3 พบร้าสารบอนแอโรเจลไมโครสไฟเยอร์ที่สังเคราะห์ได้มีรูปร่างเป็นทรงกลมที่สมบูรณ์ และเมื่อเวลาที่ใช้ในการบ่มก่อนการฉีดเพิ่มขึ้น จะไม่ส่งผลกระทบต่อขนาดอนุภาคของสารบอนแอโรเจลไมโครสไฟเยอร์ที่ได้รับ เนื่องจากช่วงการบ่มเป็นการฉีด

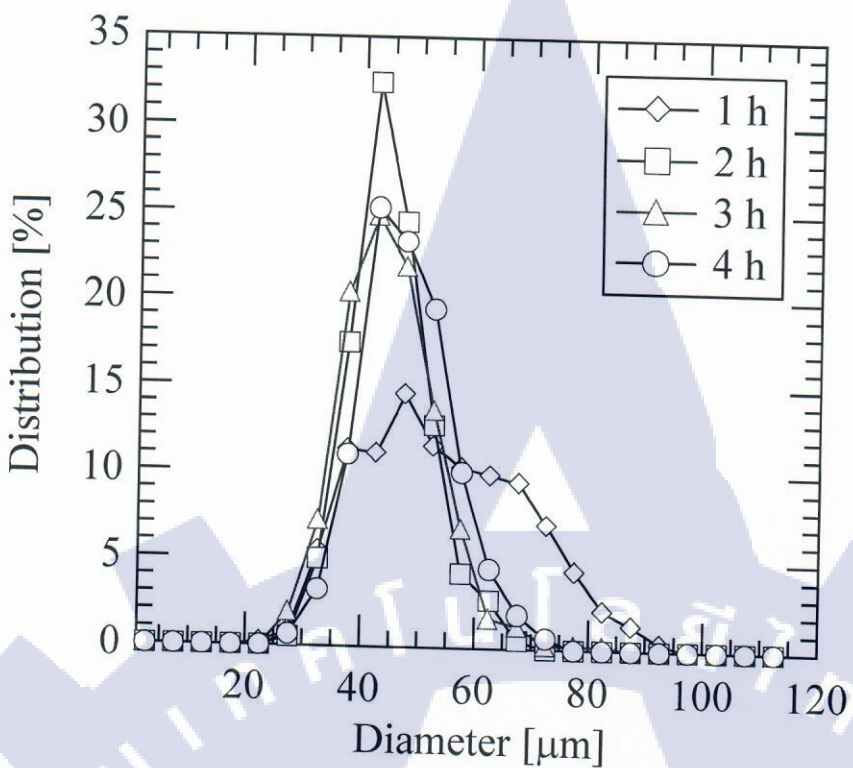
สารละลายอาร์เอฟก่อนที่ความหนืดของมันจะเพิ่มขึ้นอย่างรวดเร็ว เมื่อสารละลายเริ่มกล้ายเป็นเจล (ใช้เวลาประมาณ 7 ชั่วโมง) สารละลายจะมีความหนืดไม่แตกต่างกันมากนัก สารละลายอาร์เอฟจึงสามารถหล่อออกจากการปักรูรุนของตัวเมทัลชินเตอร์ได้ใกล้เคียงกัน ขนาดอนุภาคที่ได้จึงไม่แตกต่างกันมากนัก โดยมีขนาดเส้นผ่าศูนย์กลางเฉลี่ยของอนุภาค 44.6 42.7 42.5 และ 43.2  $\mu\text{m}$  ตามลำดับ ดังแสดงในรูปที่ 4.4 ส่วนการกระจายตัวของขนาดอนุภาคcarbon aerogelไมโครสเฟียร์จากการเตรียมโดยใช้เวลาบ่มก่อนการฉีดที่ต่างกันแสดงไว้ในรูปที่ 4.5



รูปที่ 4.3 สัณฐานวิทยาของคาร์บอนแอโรเจลไมโครสเฟียร์ที่สังเคราะห์ได้ ที่เตรียมโดยใช้เวลาบ่มก่อนการฉีด (a) 1 ชั่วโมง (b) 2 ชั่วโมง (c) 3 ชั่วโมง และ (d) 4 ชั่วโมง



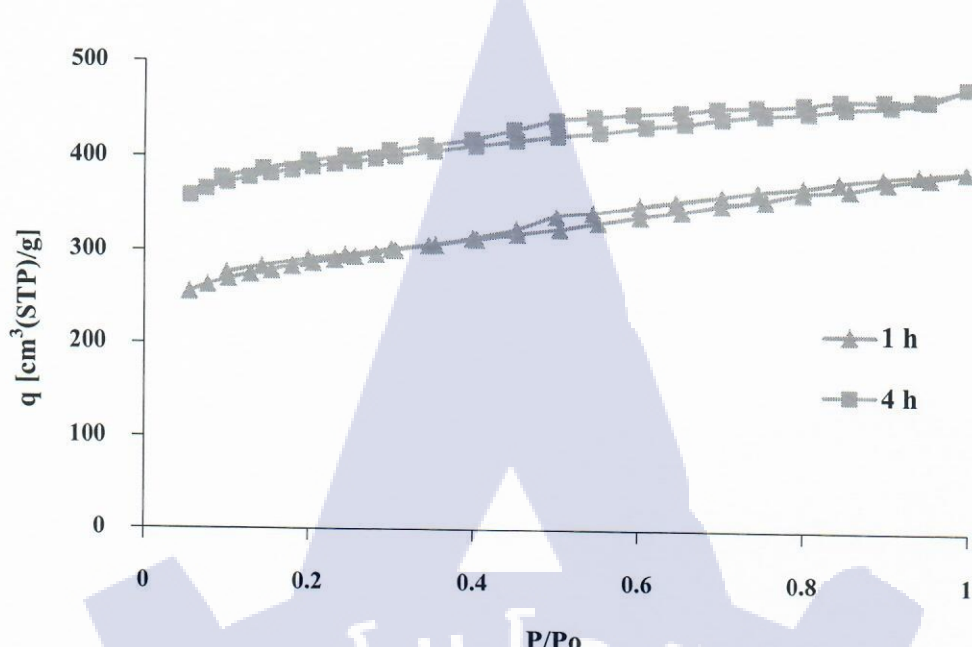
รูปที่ 4.4 ขนาดอนุภาคของคาร์บอนแอโรเจลไมโครสเฟียร์ ที่เตรียมโดยใช้เวลาบ่มก่อนการฉีดที่ต่างกัน



รูปที่ 4.5 การกระจายตัวของขนาดอนุภาคของคาร์บอนแอโรเจลไมโครสเฟียร์ ที่เตรียมโดยใช้เวลาบ่ม ก่อนการฉีดที่ต่างกัน

จากการการกระจายตัวของขนาดอนุภาคของคาร์บอนแอโรเจลไมโครสเฟียร์ พบร่วางในทุก กรณีของการใช้เวลาบ่มก่อนการฉีด กราฟการกระจายตัวของขนาดอนุภาคเป็นแบบมอนอดิสเพรส (Monodisperse) คือเกิดเพียงพีคเดียวเท่านั้น ส่งผลให้ขนาดของอนุภาคที่สังเคราะห์ได้ค่อนข้าง สม่ำเสมอ อธิบายได้จากผลของความหนืดของสารละลายอาร์เอฟ ดังแสดงในรูปที่ 4.2 ส่งผลให้ขนาด อนุภาคที่ได้รับค่อนข้างสม่ำเสมอ

จากการวิเคราะห์คุณสมบัติของคาร์บอนแอโรเจลไมโครสเฟียร์ด้วยเครื่องดูดซับก๊าซ ในตอร์เจน จะได้ไอโซเทอร์มการดูดซับและคายซับของก๊าซในตอร์เจน ที่เตรียมโดยใช้เวลาบ่มก่อนการ ฉีด 1 และ 4 ชั่วโมง ซึ่งเป็นกราฟความสัมพันธ์ระหว่างปริมาตรของในตอร์เจนที่ถูกดูดซับกับความดัน สัมพัทธ์ของก๊าซในตอร์เจน ดังแสดงในรูปที่ 4.6

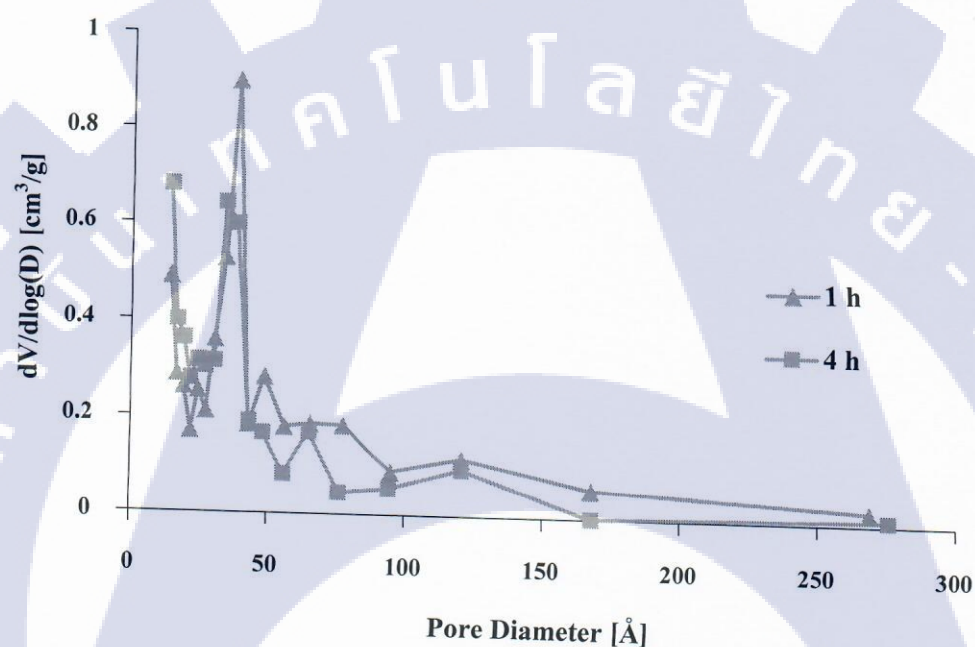


รูปที่ 4.6 ไอโซเทอร์มการดูดซับและคายซับของก๊าซไนโตรเจนบนคาร์บอนแอโรเจลไมโครสเฟียร์ เส้นล่าง คือ การดูดซับ เส้นบน คือ การคายซับของโมเลกุลที่ผิวน้ำ ซึ่งเตรียมตัวอย่างโดยใช้เวลาบ่มก่อนการฉีด ▲ คือ 1 ชั่วโมง ■ คือ 4 ชั่วโมง

จากรูปที่ 4.6 พบร่วมกันของการฉีดเพิ่มขึ้น ปริมาณไนโตรเจนที่ถูกดูดซับจะเพิ่มขึ้น สมบัติทางกายภาพของคาร์บอนแอโรเจลไมโครสเฟียร์ ที่เตรียมโดยใช้เวลาบ่มก่อนการฉีดที่ต่างกัน ได้แสดงในตารางที่ 4.3 พบร่วมกันของการฉีด ส่วนสมบัติของรูพรุน เมื่อเพิ่มเวลาบ่มก่อนการฉีดจะทำให้สารตั้งต้นมีเวลาในการทำปฏิกิริยากับในบล็อก(Bulk) มากขึ้น จะส่งผลให้พื้นที่ผิวจำเพาะ ( $S_{BET}$ ) ปริมาตรไมโครพอร์ และปริมาตรรูพรุนทั้งหมดเพิ่มขึ้น รูปที่ 4.7 แสดงการกระจายตัวของขนาดรูพรุนของคาร์บอนแอโรเจลไมโครสเฟียร์ ที่เตรียมโดยใช้เวลาบ่มก่อนการฉีดที่ต่างกัน จากผลการทดลองพบว่าการใช้เวลาบ่มก่อนการฉีดทั้ง 1 และ 4 ชั่วโมง จะมีการกระจายตัวของขนาดรูพรุนในช่วงกว้างตั้งแต่ไมโครพอร์ไปจนถึงเมโซพอร์และมีรูปร่างใกล้เคียงกัน โดยเมื่อเพิ่มเวลาบ่มก่อนการฉีด การกระจายตัวของรูพรุนจะไปอยู่ในช่วงไมโครพอร์มากขึ้น โดยคาร์บอนแอโรเจลไมโครสเฟียร์ที่เตรียมโดยใช้เวลาบ่มก่อนการฉีด 1 และ 4 ชั่วโมง จะมีสัดส่วนของเส้นผ่านศูนย์กลางรูพรุนที่มีปริมาตรสูงสุด ( $D_{peak}$ ) 3.83 และ 1.41 nm ซึ่งเป็นขนาดรูพรุนที่อยู่ในช่วงของเมโซพอร์ และไมโครพอร์ ตามลำดับ

ตารางที่ 4.3 คุณลักษณะของคาร์บอนแอโรเจลไมโครสเพียร์ ที่เตรียมโดยใช้เวลาปั่นก่อนการฉีดต่างกัน

เวลาปั่นก่อนการฉีด (ชั่วโมง)	ขนาดเส้นผ่าศูนย์กลางเฉลี่ยของอนุภาค (nm)	พื้นที่ผิวจำเพาะ ( $S_{BET}$ ) ( $m^2/g$ )	ปริมาตรไมโครพอร์ ( $cm^3/g$ )	ปริมาตรเมโซพอร์ ( $cm^3/g$ )	ปริมาตรรูพรุนทั้งหมด ( $cm^3/g$ )	$D_{peak}$ (nm)
1	44.6	903.02	0.27	0.31	0.60	3.83
4	43.2	1200.06	0.44	0.30	0.74	1.41

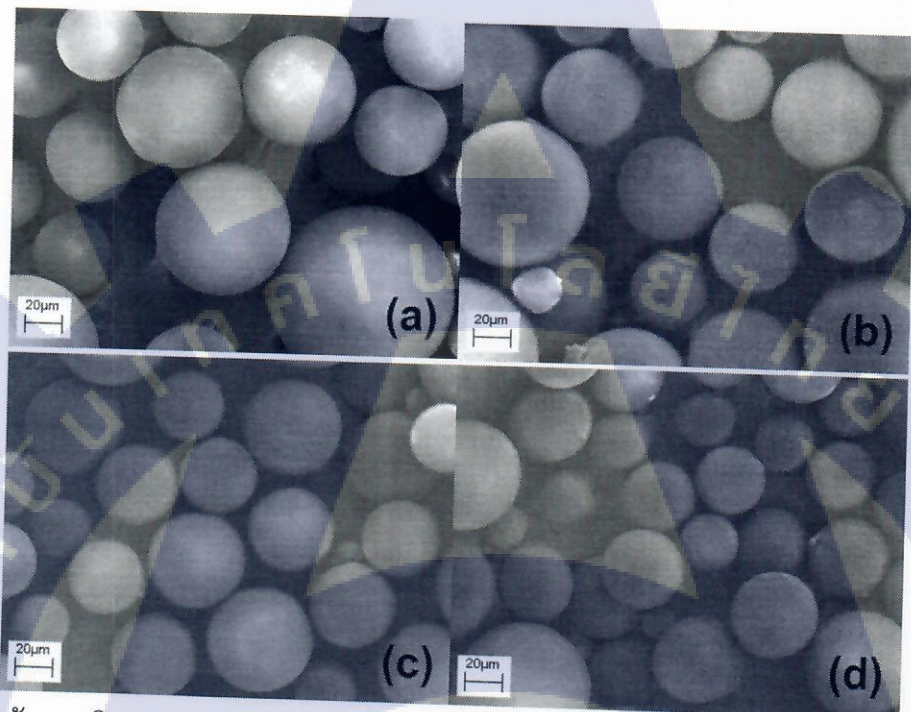


รูปที่ 4.7 การกระจายตัวของขนาดรูพรุนของคาร์บอนแอโรเจลไมโครสเพียร์ ที่เตรียมโดยใช้เวลาปั่นก่อนการฉีด ▲ คือ 1 ชั่วโมง ■ คือ 4 ชั่วโมง

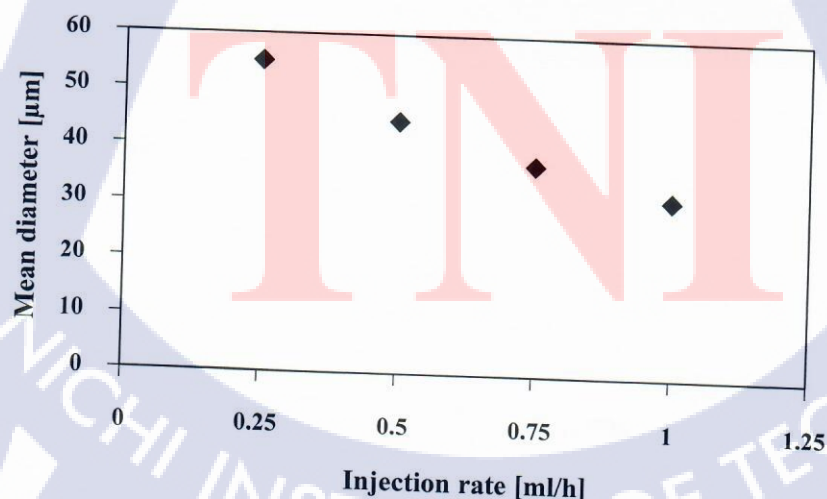
#### 4.2.2 อิทธิพลของอัตราการฉีดต่อขนาดของอนุภาคและสมบัติของรูพรุน

ภาพสัมฐานวิทยาของคาร์บอนแอโรเจลไมโครสเพียร์ที่สังเคราะห์ได้ จากการฉีดสารละลาย อาร์เอฟผ่านเมทัลชินเตอร์ด้วยอัตรา 0.25 0.50 0.75 และ 1.00 ml/h โดยใช้เวลาปั่นก่อนการฉีด 1 ชั่วโมง และอัตราการปั่นกว้าง 180 rpm ได้แสดงไว้ในรูปที่ 4.8 จากผลการทดลองพบว่า คาร์บอนแอโรเจลไมโครสเพียร์ที่สังเคราะห์ได้มีรูปร่างเป็นทรงกลมที่สมบูรณ์ และเมื่อเพิ่มอัตราการฉีดสูงขึ้น ขนาดอนุภาคของคาร์บอนแอโรเจลไมโครสเพียร์ที่สังเคราะห์ได้จะมีขนาดที่เล็กลง เนื่องจากสารละลายอาร์เอฟสามารถหล่อออกจากปากรูพรุนของเมทัลชินเตอร์ไปตัดกับการไหลของเฟส

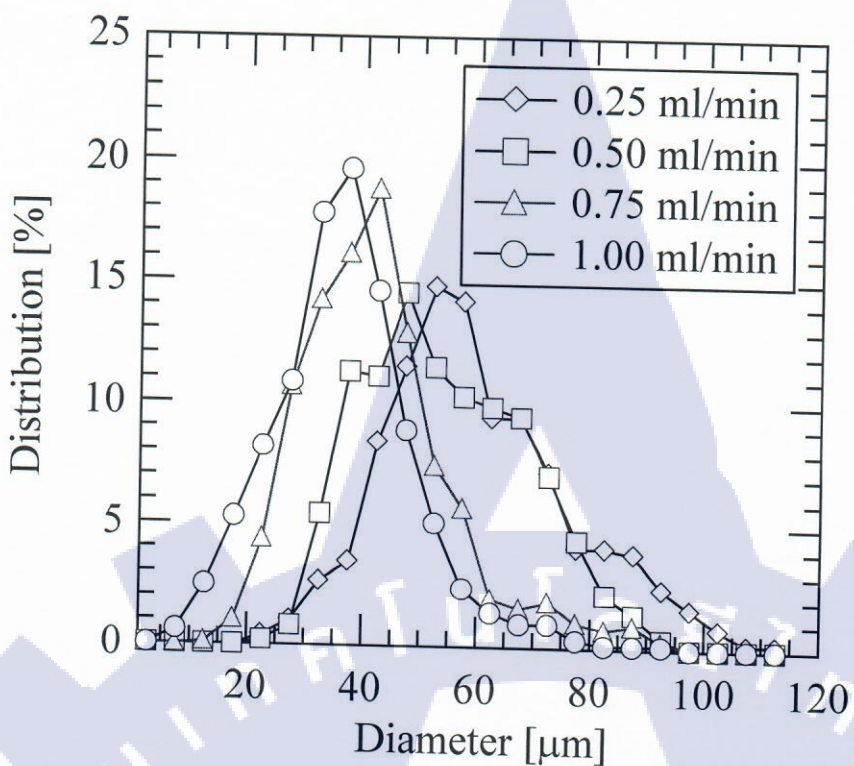
ต่อเนื่องได้เร็วขึ้น จึงเกิดเป็นหยดของสารละลายอาร์เอฟที่เล็กกว่า และถูกทำให้เสียรด้วยสารลดแรงตึงผิวที่ละลายอยู่ในเฟสต่อเนื่อง โดยที่คาร์บอนแอโรเจลไมโครสเฟียร์ที่สังเคราะห์โดยใช้อัตราการฉีด 0.25 0.50 0.75 และ 1.00 mL/h จะมีขนาดเส้นผ่านศูนย์กลางเฉลี่ยของอนุภาค 55.1 44.6 37.3 และ 31.6  $\mu\text{m}$  ตามลำดับ ดังแสดงในรูปที่ 4.9 ส่วนการกระจายตัวของขนาดอนุภาคการบอนแอโรเจลไมโครสเฟียร์จากการเตรียมด้วยอัตราการฉีดที่ต่างกันแสดงไว้ในรูปที่ 4.10



รูปที่ 4.8 สัณฐานวิทยาของคาร์บอนแอโรเจลไมโครสเฟียร์ที่สังเคราะห์ได้ ที่เตรียมด้วยอัตราการฉีด (a) 0.25 mL/h (b) 0.50 mL/h (c) 0.75 mL/h และ (d) 1.00 mL/h



รูปที่ 4.9 ขนาดอนุภาคของคาร์บอนแอโรเจลไมโครสเฟียร์ ที่เตรียมโดยใช้อัตราการฉีดต่างกัน

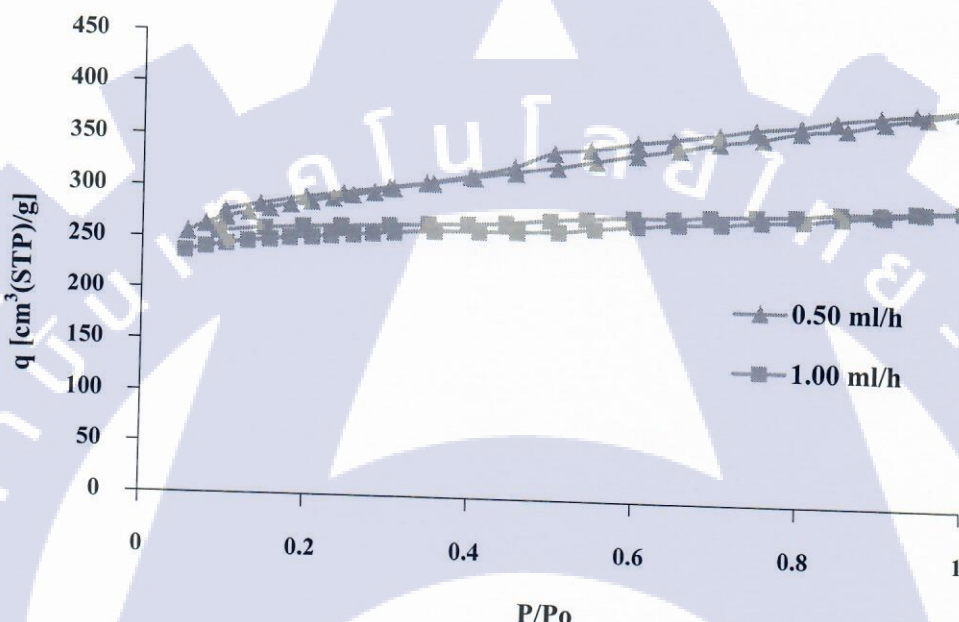


รูปที่ 4.10 การกระจายตัวของขนาดอนุภาคของคาร์บอนแอโรเจลไมโครสเพียร์ ที่เตรียมโดยใช้อัตราการฉีดต่างกัน

จากการการกระจายตัวของขนาดอนุภาคของคาร์บอนแอโรเจลไมโครสเพียร์ พบร่วางในทุกกรณีของการใช้อัตราการฉีด การ分布การกระจายตัวของขนาดอนุภาคจะเป็นแบบมอนอดิสเพิร์ส (Monodisperse) ขนาดของอนุภาคที่สังเคราะห์ได้จึงค่อนข้างสม่ำเสมอ ซึ่งสามารถอธิบายได้จากผลของความหนืดของสารละลายได้เช่นเดียวกับหัวข้อ 4.2.1

จากการวิเคราะห์คุณสมบัติของคาร์บอนแอโรเจลไมโครสเพียร์ ที่เตรียมโดยใช้อัตราการฉีดต่างกัน ด้วยเครื่องดูดซับก๊าซในไตรเจน โดยใช้อัตราการฉีดที่ 0.5 และ 1.00 ml/h จะได้อโซเทอร์ม การดูดซับและคายซับของก๊าซในไตรเจน ดังแสดงในรูปที่ 4.11 พบร่วางเมื่ออัตราการฉีดเพิ่มขึ้น ปริมาณในไตรเจนที่ถูกดูดซับจะลดลง สมบัติทางกายภาพของคาร์บอนแอโรเจลไมโครสเพียร์ ที่เตรียมโดยใช้อัตราการฉีดต่างกัน ได้แสดงไว้ในตารางที่ 4.4 พบร่วาง ขนาดเส้นผ่าศูนย์กลางเฉลี่ยของอนุภาค จะลดลงเมื่ออัตราการฉีดเพิ่มขึ้น ส่วนสมบัติของรูพรุนเมื่อเพิ่มอัตราการฉีด จะทำให้ได้หยดสารละลายอาร์เอฟเลิกฯ ซึ่งมีปริมาณสารตั้งต้นน้อยกว่าในหยดที่มีขนาดใหญ่ ในการทำปฏิกิริยาจึงเกิดเป็นร่างแท้ได้น้อย จะส่งผลให้พื้นที่ผิวจำเพาะ ( $S_{BET}$ ) ปริมาตรเมโซพอร์ และปริมาตรรูพรุน

ทั้งหมดลดลง รูปที่ 4.12 แสดงการกระจายตัวของขนาดรูพรุนของคาร์บอนแอโรเจลไมโครสเพียร์ ที่เตรียมโดยใช้อัตราการฉีดต่างกัน จากผลการทดลองพบว่าการใช้อัตราการฉีดทั้ง 0.50 และ 1.00 ml/h จะมีการกระจายตัวของขนาดรูพรุนในช่วงกว้างตั้งแต่ไมโครพอร์เป็นถึงเมโซพอร์และมีรูปร่างใกล้เคียงกัน โดยที่เมื่ออัตราการฉีดเพิ่มขึ้นจะส่งผลให้การกระจายตัวของรูพรุนไปอยู่ในช่วงไมโครพอร์มากขึ้น โดยคาร์บอนแอโรเจลไมโครสเพียร์ที่เตรียมโดยใช้อัตราการฉีด 0.50 และ 1.00 ml/h จะมีสัดส่วนของเส้นผ่านศูนย์กลางรูพรุนที่มีปริมาตรสูงสุด ( $D_{peak}$ ) 3.83 และ 1.39 nm ซึ่งเป็นขนาดรูพรุนที่อยู่ในช่วงของเมโซพอร์ และไมโครพอร์ ตามลำดับ

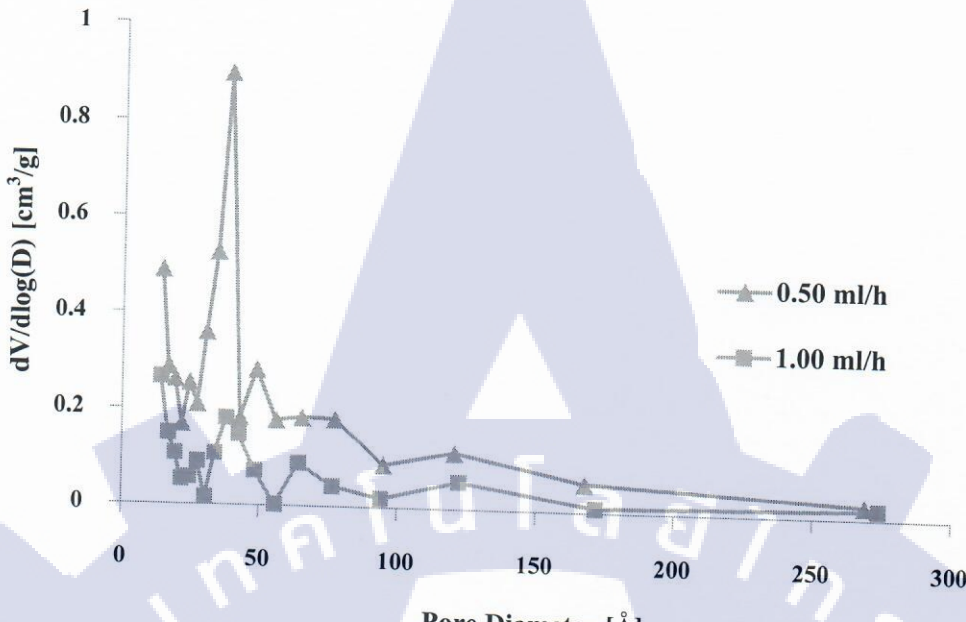


รูปที่ 4.11 ไอโซเทอร์มการดูดซับและคายซับของก๊าซไนโตรเจนบนคาร์บอนแอโรเจลไมโครสเพียร์ เส้นล่าง คือ การดูดซับ เส้นบน คือ การคายซับของโมเลกุลที่ผิวน้ำ ซึ่งเตรียมตัวอย่างโดยใช้อัตราการฉีด

▲ คือ 0.5 ml/h ■ คือ 1.00 ml/h

ตารางที่ 4.4 คุณลักษณะของคาร์บอนแอโรเจลไมโครสเพียร์ ที่เตรียมโดยใช้อัตราการฉีดต่างกัน

อัตราการ ฉีด (ml/h)	ขนาดเส้นผ่าน ศูนย์กลางเฉลี่ย ของอนุภาค (nm)	พื้นที่ผิว จำเพาะ ( $S_{BET}$ ) ( $m^2/g$ )	ปริมาตร ไมโครพอร์ ( $cm^3/g$ )	ปริมาตร เมโซพอร์ ( $cm^3/g$ )	ปริมาตร รูพรุนทั้งหมด ( $cm^3/g$ )	$D_{peak}$ (nm)
0.50	44.6	903.02	0.27	0.31	0.60	3.83
1.00	31.6	770.90	0.31	0.10	0.45	1.39

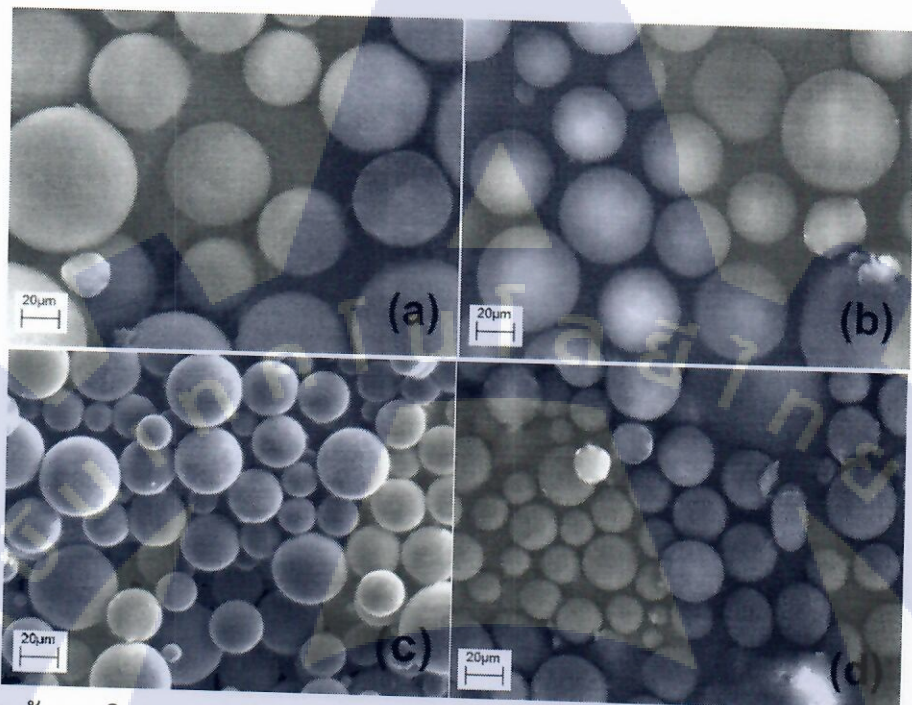


รูปที่ 4.12 การกระจายตัวของขนาดรูพรุนของคาร์บอนแอโรเจลไมโครสเพียร์ ที่เตรียมโดยใช้อัตราการฉีด ▲ คือ 0.50 ml/h ■ คือ 1.00 ml/h

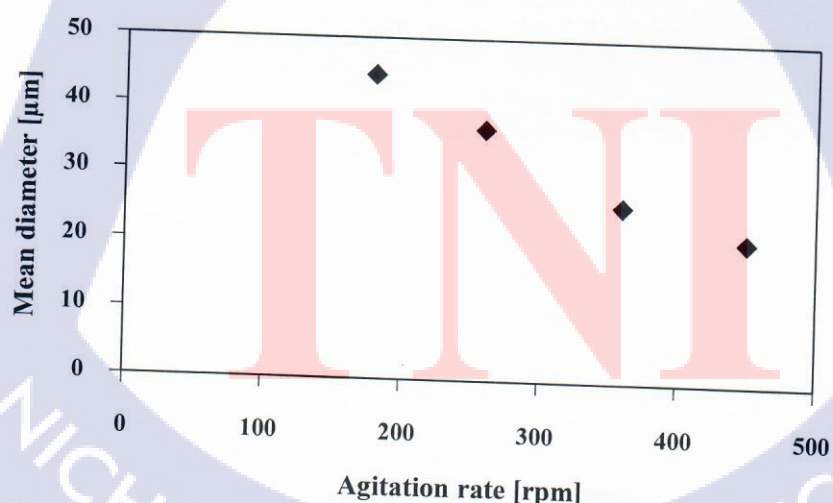
#### 4.2.3 อิทธิพลของอัตราการปั่นกวนต่อขนาดของอนุภาคและสมบัติของรูพรุน

ภาพสัมฐานวิทยาของคาร์บอนแอโรเจลไมโครสเพียร์ที่สังเคราะห์ได้ จากการเตรียมด้วยอัตราการปั่นกวน 180 260 360 และ 450 rpm โดยใช้เวลาบ่มก่อนการฉีด 1 ชั่วโมง และอัตราการฉีด 0.5 ml/h ได้แสดงไว้ในรูปที่ 4.13 จากผลการทดลองพบว่า เมื่ออัตราการปั่นกวนสูงขึ้น ขนาดอนุภาคของคาร์บอนแอโรเจลไมโครสเพียร์ที่สังเคราะห์ได้ จะมีขนาดอนุภาคที่เล็กลง เนื่องจากการเพิ่มอัตราการปั่นกวน จะทำให้เกิดการไหลแบบปั่นปวนมากขึ้น หยดของสารละลายอาร์เอฟสามารถหลุดออกจากปากรูพรุนของเมทัลชินเตอร์ได้เร็วขึ้น จึงเกิดเป็นหยดของสารละลายอาร์เอฟที่เล็กกว่า และท่ออัตราการปั่นกวนสูงๆ จะทำให้อนุภาคบางส่วนเกิดการแตกหักไม่เป็นทรงกลม เนื่องจากแรงกระวนแม่เหล็กจะหมุนด้วยอัตราเร็วที่สูงมาก และเมื่อไปกระทบกับอนุภาคไสโตรเจลก็จะทำให้เกิดการแตกหักขึ้น โดยที่คาร์บอนแอโรเจลไมโครสเพียร์ที่สังเคราะห์โดยใช้อัตราการปั่นกวนของเฟสต่อเนื่อง 180 260 360 และ 450 rpm จะมีขนาดเส้นผ่านศูนย์กลางเฉลี่ยของอนุภาค 44.6 36.7 25.7 และ 20.8 μm ตามลำดับ ดังแสดงในรูปที่ 4.14 ส่วนการกระจายตัวของขนาดอนุภาคคาร์บอนแอโรเจลไมโครสเพียร์จากการเตรียมด้วยอัตราการปั่นกวนของเฟสต่อเนื่องต่างกันแสดงไว้ในรูปที่ 4.15

จากราฟการกระจายตัวของขนาดอนุภาคของคาร์บอนแอโรเจลไมโครสเพียร์ พบว่าในทุกกรณีของการใช้อัตราการปั่นกวน กราฟการกระจายตัวของขนาดอนุภาคที่เป็นแบบมอนอดิสเพรสร์ (Monodisperse) ส่งผลให้ขนาดของอนุภาคที่สังเคราะห์ได้จึงค่อนข้างสม่ำเสมอ ซึ่งสามารถอธิบายได้จากผลของความหนืดของสารละลายได้ เช่นเดียวกับหัวข้อ 4.2.1

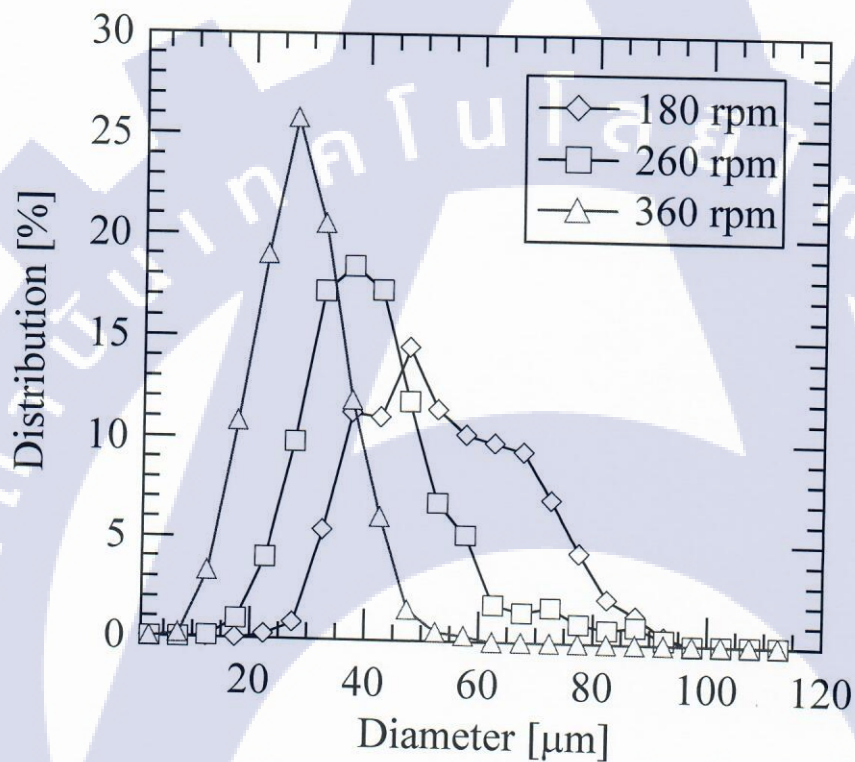


รูปที่ 4.13 สัณฐานวิทยาของคาร์บอนแอโรเจลไมโครสเพียร์ที่สังเคราะห์ได้ ที่เตรียมด้วยอัตราการปั่นกวนของเฟสต่อเนื่อง (a) 180 rpm (b) 260 rpm (c) 360 rpm และ (d) 450 rpm

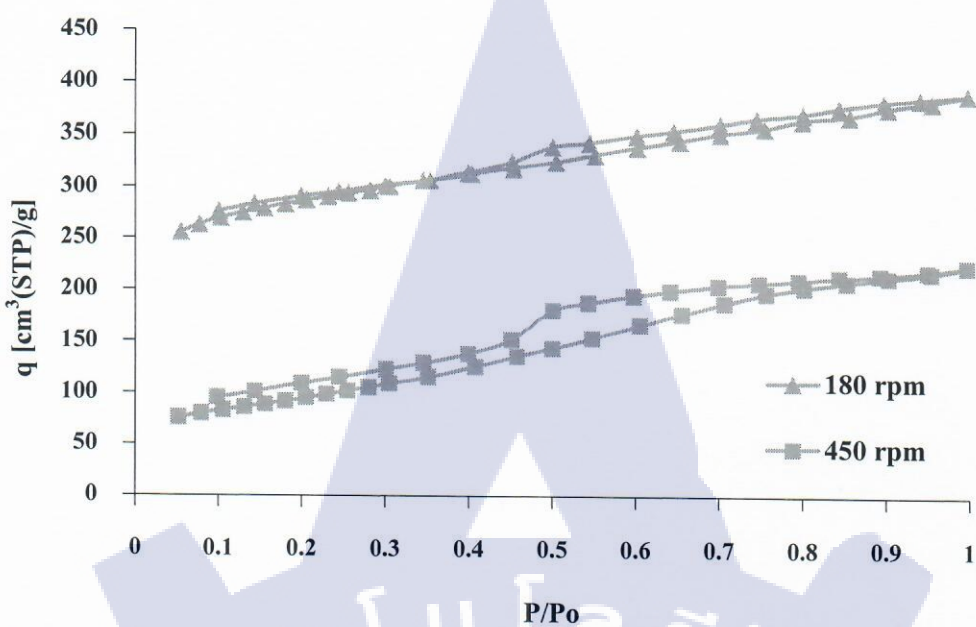


รูปที่ 4.14 ขนาดอนุภาคของคาร์บอนแอโรเจลไมโครสเพียร์ ที่เตรียมโดยใช้อัตราการปั่นกวนของเฟสต่อเนื่องต่างกัน

จากการวิเคราะห์คุณสมบัติของคาร์บอนแอโรเจลไมโครสเพียร์ ที่เตรียมโดยใช้อัตราการปั่นกวานที่ต่างกัน ด้วยเครื่องดูดซับก๊าซในโตรเจน จะได้ไอโซเทอร์มการดูดซับและคายซับของก๊าซในโตรเจน ดังแสดงในรูปที่ 4.16 จากไอโซเทอร์มการดูดซับและคายซับของก๊าซในโตรเจนบนคาร์บอนแอโรเจลไมโครสเพียร์ ที่เตรียมโดยใช้อัตราการปั่นกวาน 180 และ 450 rpm พบร่วมกันเมื่ออัตราการปั่นกวานเพิ่มขึ้น ปริมาณในโตรเจนที่ถูกดูดซับจะลดลง สมบัติทางกายภาพของคาร์บอนแอโรเจลไมโครสเพียร์ ที่เตรียมโดยใช้อัตราการฉีดต่างกัน ได้แสดงไว้ในตารางที่ 4.4



รูปที่ 4.15 การกระจายตัวของขนาดอนุภาคของคาร์บอนแอโรเจลไมโครสเพียร์ ที่เตรียมโดยใช้อัตราการปั่นกวานเฟสต่อเนื่องต่างกัน

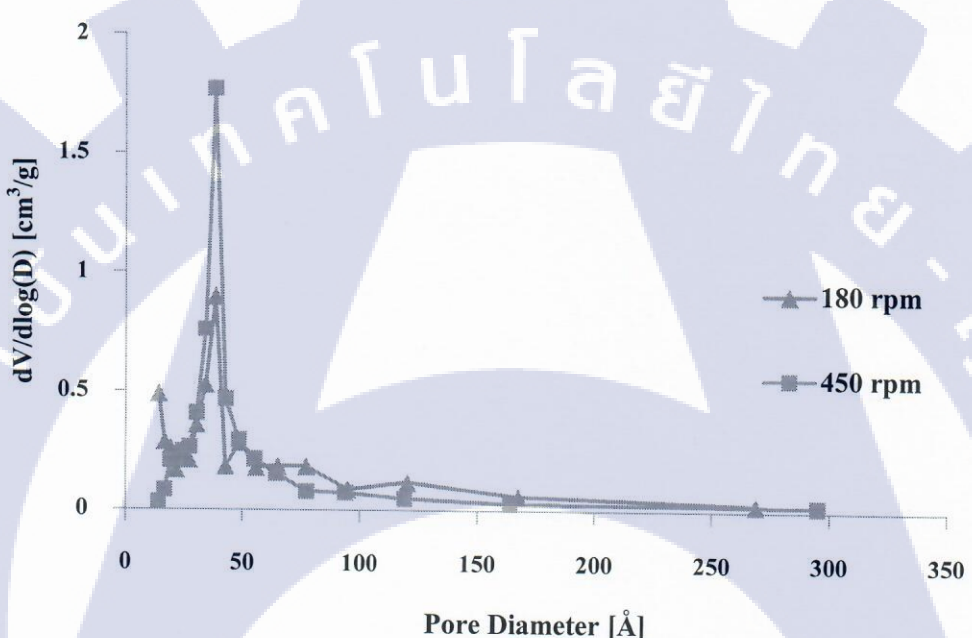


รูปที่ 4.16 ไอโซเทอร์มการดูดซับและคายซับของก๊าซไนโตรเจนบนคาร์บอนแอโรเจลไมโครสไฟเยอร์ เส้นล่าง คือ การดูดซับ เส้นบน คือ การคายซับของโมเลกุลที่ผิวน้ำ ซึ่งเตรียมตัวอย่างโดยใช้อัตราการปั้น กวนของเฟสต่อเนื่อง ▲ คือ 180 rpm ■ คือ 450 rpm

จากผลการทดลองพบว่า ขนาดเส้นผ่านศูนย์กลางเฉลี่ยของอนุภาคจะลดลงเมื่อเพิ่มอัตราการปั้นกวน ส่วนสมบัติของรูพรุนเมื่อเพิ่มอัตราการปั้น เมื่อเพิ่มอัตราการปั้น กวนจะทำให้อนุภาคแตกหักมากขึ้น รูพรุนเกิดความเสียหาย จะส่งผลให้พื้นที่ผิวจำเพาะ ( $S_{BET}$ ) ปริมาตรเม็ครอฟอร์ และปริมาตรรูพรุนทั้งหมดลดลง โดยที่อัตราการปั้นกวน 450 rpm จะมีปริมาณของคาร์บอนแอโรเจลที่แตกหักมากที่สุดเมื่อสังเกตจากภาพสัมภานวิทยา รูปที่ 4.17 แสดงการกระจายตัวของขนาดรูพรุนของคาร์บอนแอโรเจลไมโครสไฟเยอร์ ที่เตรียมโดยใช้อัตราการปั้นกวนที่ต่างกัน จากผลการทดลองพบว่าการใช้อัตราการปั้นกวนทั้ง 180 และ 450 rpm จะมีการกระจายตัวของขนาดรูพรุนในช่วงกว้าง ตั้งแต่ไมโครพอร์ไปจนถึงเม็ซิพอร์ เมื่ออัตราการปั้นกวนเพิ่มขึ้นจะส่งผลให้การกระจายตัวของรูพรุนในช่วงไมโครพอร์ลดลงเนื่องจากโครงสร้างรูพรุนเกิดความเสียหาย โดยคาร์บอนแอโรเจลไมโครสไฟเยอร์ที่เตรียมโดยใช้อัตราการปั้นกวน 180 และ 450 rpm จะมีสัดส่วนของเส้นผ่านศูนย์กลางรูพรุนที่มีปริมาตรสูงสุด ( $D_{peak}$ )  $3.83 \text{ nm}$  เท่ากันคู่ ซึ่งเป็นขนาดรูพรุนที่อยู่ในช่วงของเม็ซิพอร์

ตารางที่ 4.5 คุณลักษณะของคาร์บอนแอโรเจลไมโครสเพียร์ ที่เตรียมโดยใช้อัตราการป่นกรุนของเฟสต่อเนื่องต่างกัน

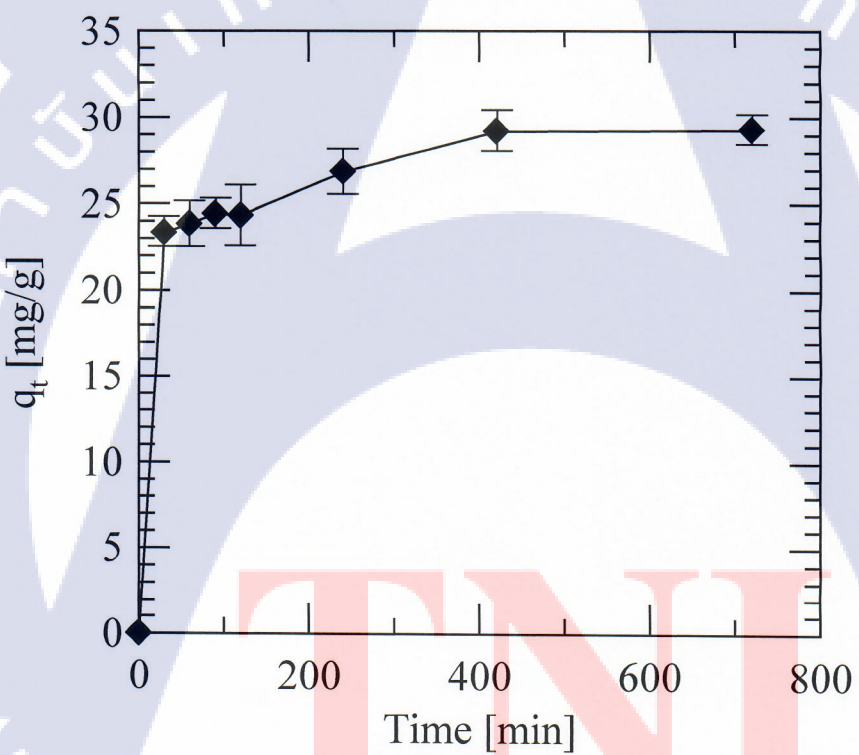
อัตราการป่นกรุน (rpm)	ขนาดเส้นผ่าศูนย์กลางเฉลี่ยของอนุภาค (nm)	พื้นที่ผิวจำเพาะ ( $S_{BET}$ ) ( $m^2/g$ )	ปริมาตรรีโคพร์ ( $cm^3/g$ )	ปริมาตรเมโซพอร์ ( $cm^3/g$ )	ปริมาตรรูพรุนทั้งหมด ( $cm^3/g$ )	$D_{peak}$ (nm)
180	44.6	903.02	0.27	0.31	0.60	3.83
450	31.6	334.70	0.02	0.31	0.34	3.83



รูปที่ 4.17 การกระจายตัวของขนาดรูพรุนของคาร์บอนแอโรเจลไมโครสเพียร์ ที่เตรียมโดยใช้อัตราการป่นกรุนของเฟสต่อเนื่อง ▲ คือ 180 rpm ■ คือ 450 rpm

### 4.3 การศึกษาความสามารถในการดูดซับฟีโนอล

ในขั้นตอนนี้เป็นการศึกษาความสามารถในการดูดซับของคาร์บอนแอโรเจลไมโครสไฟเยอร์ที่สังเคราะห์ได้ โดยทำการศึกษาการดูดซับสารละลายฟีโนอล และทำการหาความสามารถในการดูดซับเพื่อเปรียบเทียบกับถ่านกัมมันต์ทางการค้า ซึ่งในการทดลองตอนนี้ จะใช้คาร์บอนแอโรเจลไมโครสไฟเยอร์ที่เตรียมโดยใช้เวลาบ่มก่อนการฉีด 1 ชั่วโมง อัตราการฉีด 0.5 ml/h และอัตราการปั่นกวาน 180 rpm มาทดลองดูดซับสารละลายฟีโนอลที่มีความเข้มข้นเริ่มต้น 100 mg/l โดยทำการทดลองตามหัวข้อ 3.3.1 โดยวิเคราะห์หาปริมาณฟีโนอลที่เหลือด้วยเครื่อง UV-VIS Spectrophotometer ที่ความยาวคลื่น 292 nm จากนั้นนำข้อมูลความเข้มข้นของฟีโนอลที่เหลือที่เวลาใดๆ ไปคำนวณตามสมการที่ 3.1 และสร้างกราฟความสัมพันธ์ระหว่างปริมาณการดูดซับฟีโนอลต่อกรัมตัวดูดซับคาร์บอนแอโรเจลไมโครสไฟเยอร์ ( $q_t$ ) กับเวลา แสดงดังรูปที่ 4.18



รูปที่ 4.18 ความสัมพันธ์ระหว่างปริมาณดูดซับจำเพาะของคาร์บอนแอโรเจลไมโครสไฟเยอร์ กับระยะเวลาในการดูดซับ

จากราฟในรูปที่ 4.18 แสดงปริมาณฟีนอลที่ถูกดูดซับที่เวลาต่างๆ ที่มีความเข้มข้นของฟีนอลเริ่มต้น  $100 \text{ mg/l}$  พบร่วงเวลา 30 นาทีแรก ของเวลาสัมผัสจะเกิดการดูดซับอย่างรวดเร็ว และปริมาณฟีนอลที่ถูกดูดซับจะเพิ่มขึ้นเล็กน้อยเมื่อเวลาผ่านไป จนกระทั่งเข้าสู่สมดุลเมื่อเวลาผ่านไป 420 นาที โดยสามารถคำนวณประสิทธิภาพของการกำจัดฟีนอล ได้สูงถึง 58.40 % โดยคำนวณจากเวลาที่สมดุลคือ 420 นาที สำหรับปริมาณการดูดซับที่สมดุล 420 นาที พบร่วงการบอนแอโรเจลไมโครสฟีย์ที่เตรียมโดยใช้เวลาบ่มก่อนการฉีด 1 ชั่วโมง อัตราการฉีด  $0.5 \text{ mL/h}$  และอัตราการปั่นกวานของเฟสต่อเนื่อง  $180 \text{ rpm}$  ซึ่งมีพื้นที่ผิวจำเพาะ ( $S_{BET}$ )  $903.02 \text{ m}^2/\text{g}$  ปริมาตรเมโซโพอร์  $0.31 \text{ cm}^3/\text{g}$  และปริมาตรไมโครพอร์  $0.27 \text{ cm}^3/\text{g}$  จะให้ค่าปริมาณการดูดซับฟีนอล  $29.20 \text{ mg/g}$  ซึ่งเมื่อเปรียบเทียบกับถ่านกัมมันต์เชิงการค้า (จากบริษัท Fluka หมายเลขผลิตภัณฑ์ 05120) ซึ่งมีพื้นที่ผิวจำเพาะ ( $S_{BET}$ ) ใกล้เคียงกัน คือมีพื้นที่ผิวจำเพาะ ( $S_{BET}$ )  $900 \text{ m}^2/\text{g}$  จะมีความสามารถในการดูดซับฟีนอลแค่  $2.59 \text{ mg/g}$  เท่านั้น [22] เนื่องจากขนาดของรูพรุนที่เหมาะสมสมสำหรับการดูดซับฟีนอลคือรูพรุนขนาดเมโซโพอร์ แต่ถ่านกัมมันต์เชิงการค้าส่วนใหญ่จะมีรูพรุนอยู่ในช่วงไมโครพอร์ และมีปริมาตรรูพรุนที่น้อย ทำให้สามารถดูดซับฟีนอลได้ในปริมาณที่น้อย ส่วนการบอนแอโรเจลไมโครสฟีย์ที่สังเคราะห์ได้นั้น มีรูพรุนทั้งขนาดไมโครพอร์ และเมโซโพอร์ รวมถึงมีปริมาตรรูพรุนมากกว่าถ่านกัมมันต์เชิงการค้า ทำให้สามารถดูดซับฟีนอลได้มากกว่า



THAI - NICHIBAN INSTITUTE OF TECHNOLOGY

## บทที่ 5

### สรุปผลการศึกษาและข้อเสนอแนะ

#### 5.1 สรุปผลการศึกษา

##### 5.1.1 การสังเคราะห์ถ่านกัมมันต์จากเมล็ดมะขาม

การผลิตถ่านกัมมันต์จากเมล็ดมะขามสามารถผลิตได้ด้วยวิธีการคาร์บอนเชิงน้ำยาใต้บรรยากาศของก๊าซไนโตรเจน ผลการทดลองชี้ว่า อุณหภูมิการไฟโรไลซิสเป็นปัจจัยสำคัญที่สุดที่มีผลต่อคุณสมบัติรูพรุนของถ่านกัมมันต์ และสามารถปรับปรุงคุณสมบัติรูพรุนได้ด้วยการกระตุนทางเคมีโดยใช้โพแทสเซียมไฮดรอกไซด์ (KOH) อย่างไรก็ตามพื้นที่ผิวจำเพาะ ( $S_{BET}$ ) และปริมาตรรูพรุน ที่ได้จากการถ่านกัมมันต์ในงานวิจัยนี้ยังมีค่าค่อนข้างน้อย การปรับปรุงคุณสมบัติรูพรุนและการใช้ประโยชน์จากถ่านกัมมันต์จะทำการทดสอบในการศึกษาต่อไป

##### 5.1.2 การสังเคราะห์คาร์บอนแอโรเจลไมโครสเฟียร์ โดยวิธีการทำให้เกิดอิมัลชันผ่านการฉีดอย่างง่าย

การบอนแอโรเจลที่มีรูปร่างทรงกลมประսบความสำเร็จในการเตรียม โดยใช้วิธีการทำให้เกิดอิมัลชันผ่านการฉีดอย่างง่าย ผ่านกระบวนการโซลเจลโพลิคอนเดนเซชันของสารละลายรีซอร์ชินอล-ฟอร์มาลดีไฮด์ โดยใช้เดิมكار์บอนเนตเป็นตัวเร่งปฏิกิริยา ตามด้วยกระบวนการแยกเปลี่ยนตัวทำละลาย การทำแห้งแบบหนึ่วิกฤตโดยใช้คาร์บอนไดออกไซด์ และการทำคาร์บอนในเชิงในบรรยายกาศของก๊าซไนโตรเจนที่อุณหภูมิสูง ขนาดเส้นผ่านศูนย์กลางเฉลี่ยของการบอนแอโรเจลไมโครสเฟียร์ได้สังเคราะห์ได้อยู่ในช่วงประมาณ 20 ถึง 55  $\mu\text{m}$

###### 1) อิทธิพลของเวลาบ่มก่อนการฉีดต่อขนาดของอนุภาคและสมบัติของรูพรุน

การเพิ่มเวลาบ่มก่อนการฉีด จะไม่ส่งผลกระทบต่อขนาดอนุภาคของคาร์บอนแอโรเจลไมโครสเฟียร์ที่ได้รับ โดยที่คาร์บอนแอโรเจลไมโครสเฟียร์ที่สังเคราะห์โดยใช้เวลาบ่มก่อนการฉีด 1 2 3 และ 4 ชั่วโมง จะมีขนาดเส้นผ่านศูนย์กลางเฉลี่ยของอนุภาค 44.6 42.7 42.5 และ 43.2  $\mu\text{m}$  ตามลำดับ จะส่งผลให้พื้นที่ผิวจำเพาะ ( $S_{BET}$ ) ปริมาตรไมโครพอร์ และปริมาตรรูพรุนทั้งหมดเพิ่มขึ้น

###### 2) อิทธิพลของอัตราการฉีดต่อขนาดของอนุภาคและสมบัติของรูพรุน

การเพิ่มอัตราการฉีด ขนาดอนุภาคของคาร์บอนแอโรเจลไมโครสเฟียร์ที่สังเคราะห์ได้จะมีขนาดที่เล็กลง โดยที่คาร์บอนแอโรเจลไมโครสเฟียร์ที่สังเคราะห์โดยใช้อัตราการฉีด 0.25 0.50 0.75 และ 1.00  $\text{ml/h}$  จะมีขนาดเส้นผ่านศูนย์กลางเฉลี่ยของอนุภาค 55.1 44.6 37.3 และ 31.6  $\mu\text{m}$  ตามลำดับ จะส่งผลให้พื้นที่ผิวจำเพาะ ( $S_{BET}$ ) ปริมาตรเมโซพอร์ และปริมาตรรูพรุนทั้งหมดลดลง

###### 3) อิทธิพลของอัตราการปั่นกวนของเฟสต่อเนื่องต่อขนาดของอนุภาคและสมบัติของรูพรุน

การเพิ่มอัตราการปั่นกวน ขนาดอนุภาคของคาร์บอนแอโรเจลไมโครสเฟียร์ที่สังเคราะห์ได้ จะมีขนาดอนุภาคที่เล็กลง โดยที่คาร์บอนแอโรเจลไมโครสเฟียร์ที่สังเคราะห์โดยใช้อัตราการปั่นกวน 180 260

360 และ 450 rpm จะมีขนาดเส้นผ่านศูนย์กลางเฉลี่ยของอนุภาค 44.6 36.7 25.7 และ 20.8  $\mu\text{m}$  ตามลำดับ จะส่งผลให้พื้นที่ผิวจำเพาะ ( $S_{\text{BET}}$ ) ปริมาตรไมโครพอร์ และปริมาตรรูพรุนทั้งหมดลดลง

### 5.1.3 การศึกษาความสามารถในการดูดซับฟีนอล

จากการทดลองนำคาร์บอนแอโรเจลไมโครสเปียร์ ที่เตรียมโดยใช้เวลาบ่มก่อนการนึ่ง 1 ชั่วโมง อัตราการซีด 0.5 ml/h และอัตราการปั่นกวานของเฟสต่อเนื่อง 180 rpm มาทดลองดูดซับฟีนอล พบว่า สามารถดูดซับได้ปริมาณ 29.20 mg/g ซึ่งสามารถดูดซับได้มากกว่าตัวดูดซับถ่านก้มมันต์เชิงการค้า ประมาณ 11 เท่า

## 5.2 ข้อเสนอแนะ

- ควรมีการศึกษาการปรับปรุงคุณสมบัติรูพรุนของถ่านก้มมันต์จากเมล็ดมะขามโดยการกระตัน ด้วยสารเคมีก่อนการคาร์บอนไซซ์ชัน เพื่อลดการเกิดثارระหง่านของการคาร์บอนไซซ์ชัน ซึ่งเป็นสาเหตุที่ทำให้ได้ถ่านก้มมันต์ที่มีรูพรุนน้อย
- ควรมีการศึกษาผลผลกระทบของขนาดรูพรุนของเมทัลชินเตอร์ต่อขนาดอนุภาคและสมบัติรูพรุน ของคาร์บอนแอโรเจลไมโครสเปียร์ที่ได้รับ
- ควรมีการเพิ่มวิธีการทำแห้งของไฮโดรเจล เช่น การทำแห้งแบบแข็งแข็ง และเปลี่ยนเที่ยบผลของขนาดอนุภาคและสมบัติรูพรุนของคาร์บอนแอโรเจลไมโครสเปียร์ที่ได้รับ กับการทำแห้งแบบเหนือวิกฤติ

## บรรณานุกรม

- [1] G. Busca, S. Berardinelli, C. Resini, L. Arrighi, "Technologies for the removal of phenol from fluid streams: A short review of recent developments," *Journal of Hazardous Materials*, vol. 160, pp. 265-288, 2008.
- [2] W. Tanthapanichakoon, P. Ariyadejwanich, P. Japthong, K. Nakagawa, S.R. Mukai, H. Tamon, "Adsorption-desorption characteristics of phenol and reactive dyes from aqueous solution on mesoporous activated carbon prepared from waste tires," *Water Research*, vol. 39, pp. 1347-1353, 2005.
- [3] T. Yamamoto, J. Chaichanawong, N. Thongprachan, T. Ohmori, A. Endo, "Adsorptive desulfurization of propylene derived from bio-ethanol," *Adsorption*, vol. 17, pp. 17-20, 2010.
- [4] L. Lei, L. Gu, X. Zhang, Y. Su, "Catalytic oxidation of highly concentrate real industrial wastewater by integrated ozone and active carbon," *Applied Catalyst A Gen*, vol. 327, pp. 287-294, 2007.
- [5] J. Chaichanawong, T. Yamamoto, T. Ohmori, "Enhancement effect of carbon adsorbent on ozonation of aqueous phenol," *Journal of Hazardous Materials*, 175 (2010) 673-679.
- [6] Md. Ahmaruzzaman, "Adsorption of phenolic compounds on low-cost adsorbents: A review," *Advanced Colloid Interface Science*, vol. 14, pp. 348-367, 2008.
- [7] T. Yamamoto, A. Endo, A. Eiad-ua, T. Ohmori, M. Nakaiwa, A. Soottitantawat, "Synthesis of monodisperse carbon beads with developed mesoporosity," *AIChE Journal*, vol. 53, pp. 746-749, 2007.
- [8] J. Chaichanawong, T. Yamamoto, S.-l. Kim, T. Ohmori, "Preparation and characterization of nickel-modified carbon cryogel beads with uniform particle size," *Journal of Non-Crystalline Solids*, vol. 355, pp. 1605-1612, 2009.
- [9] S. M. Manocha, "Porous carbons," *Sadhana*, vol.28, pp. 335-348, 2003.
- [10] จุฬารัตน์ อาทิตย์ตันตรา. (2555). กระบวนการโซลเจล (Sol-Gel Technology) [Online]. Available: <http://www.dpim.go.th/article?catid=125&articleid=3251>.
- [11] C. Lin and J. A. Ritter, "Effect of synthesis pH on the structure of carbon xerogels," *Carbon*, vol. 35, pp. 1271-1278, 1997.

- [12] M. Perrut and E. Francais. (2555). *Aerogel drying* [Online]. Available: <http://www.separex.fr/index.php/download/category/8-applications?download=20:aerogel-drying>
- [13] จตุพร วิทยาคุณ และนรรักษ์ กฤษาดานรรักษ์, การเร่งปฏิกิริยา: พื้นฐานและการประยุกต์. กรุงเทพฯ: โรงพิมพ์มหาวิทยาลัยธรรมศาสตร์, 2547.
- [14] N. Job, R. Pirard, J. Marien and JP. Pirard, "Porous carbon xerogels with texture tailored by pH control during sol-gel process," *Carbon*, vol. 42, pp. 619-628, 2004.
- [15] S.A. Al-Muhtaseb and J.A. Ritter, "Preparation and properties of resorcinol-formaldehyde organic and carbon gels," *Advanced Materials*, vol. 15, pp. 101-114, 2003.
- [16] N. Job, R. Pirard, J. Marien, and J. P. Pirard, "Porous carbon xerogels with texture tailored by pH control during sol-gel process," *Carbon*, vol. 42, pp. 619-628, 2004.
- [17] S. A. Al-Muhtaseb and J. A. Ritter, "Preparation and properties of resorcinol-formaldehyde organic and carbon gel," *Advanced Materials*, vol.15, pp. 101-114, 2003.
- [18] สุรีย์กรรณ์ ตันติอัญญาภูมิ, "อิทธิพลของการแลกเปลี่ยนตัวทำละลายสำหรับการเตรียมเมโซพอร์ส คาร์บอนซีโรเจลจากการข้อร่องน้ำและฟอร์มัลเดชีไอเอ็ต," วิทยานิพนธ์ วศ.ม. (วิศวกรรมเคมี), สถาบันเทคโนโลยีพระจอมเกล้าเจ้าคุณทหารลาดกระบัง, กรุงเทพฯ, 2550.
- [19] M. M. Rahman, *Nanomaterials*, Rijeka, Croatia: InTech, 2011
- [20] A. Fletcher, *Porosity and sorption behavior* [Online]. Available: <http://personal.strath.ac.uk/ashleigh.fletcher/adsorption.htm>
- [21] กิติโจน์ หวันตาหลา และ ศิริวรรณ ศรีสรัชต์, "การดูดซับไอออนโลหะสังกะสีโดยเอกสารติแวดเต็ดคาร์บอนที่เตรียมจากแกลบ" ปริญนานิพนธ์ วศ.บ. (วิศวกรรมเคมี), มหาวิทยาลัยศรีนครินทร์วิโรฒ, กรุงเทพฯ, 2549.
- [22] บรินทร์ เต็มภูรศิลป์, "การเตรียมและการวิเคราะห์คุณลักษณะเฉพาะของถ่านกัมมันต์จากไฟตง และไผ่หมาจู," วิทยานิพนธ์ วท.ม. (เคมี), มหาวิทยาลัยเกษตรศาสตร์, กรุงเทพฯ, 2551.
- [23] ปัญญา มณีจักร, "การเตรียมถ่านกัมมันต์จากลูกหู瓜ง," วารสารวิชาการสมาคมสถาบันอุดมศึกษาเอกชนแห่งประเทศไทย, ปีที่ 18, ฉบับที่ 1, พฤษภาคม 2555.
- [24] T. Yamamoto, T. Ohmori and Y.H. Kim, "Preparation and characterization of monodisperse carbon cryogel microspheres," *Microporous and Mesoporous Materials*, vol. 112, pp. 211-218, 2008.

- [25] T. Horikawa, J. Hayashi and K. Muroyama, "Size control and characterization of spherical carbon aerogel particles from resorcinol-formaldehyde resin," *Carbon*, vol. 42, pp. 169-175, 2004.
- [26] B. Babić, B. Kaluđerović, Lj. Vračar and N. Krstajić, "Characterization of carbon cryogel synthesized by sol-gel polycondensation and freeze-drying," *Carbon*, vol. 42, pp. 2617-2624, 2004.
- [27] H. Tamon, H. Ishizaka, T. Araki and M. Okazaki, "Control of mesoporous structure of organic and carbon aerogels," *Carbon*, vol. 36, pp. 1257-1262, 1998.
- [28] X. Wang, X. Wang, L. Liu, L. Bai, H. An, L. Zheng and L. Yi, "Preparation and characterization of carbon aerogel microspheres by an inverse emulsion polymerization," *Journal of Non-Crystalline Solids*, vol. 357, pp. 793-797, 2011.
- [29] M. Mirzaeian, P. J. Hall, "The control of porosity at nano scale in resorcinol formaldehyde carbon aerogels," *Journal of Materials Science*, vol. 44, no. 10, pp. 2705-2713, 2009.
- [30] N. Job, A. Théry, R. Pirard, J. Marien, L. Kocon, J. N. Rouzaud, F. Béguin, and J. P. Pirarda, "Carbon aerogels, cryogels and xerogels: Influence of the drying method on the textural properties of porous carbon materials," *Carbon*, vol. 43, no. 12, pp. 2481-2494, 2005.
- [31] R.W. Pekala, "Organic aerogels from the polycondensation of resorcinol with formaldehyde," *Journal of Materials Science*, vol. 24, pp. 3221-3227, 1989.
- [32] P.Y.L. Foo, L.Y. Lee, "Preparation of Activated Carbon from Parkia Speciosa Pod by Chemical Activation," *Proceedings of World Congress on Engineering and Computer Science 2010, WCECS 2010*, October 20-22, 2010, San Francisco, USA, pp. 696-698.



## ภาคผนวก ผลงานตีพิมพ์

### ผลงานตีพิมพ์ในวารสารวิชาการนานาชาติ

- [1] J. Chaichanawong, K. Kongcharoen, S. Areerat, "Preparation of carbon aerogel microspheres by a simple-injection emulsification method," *Advanced Powder Technology*, vol. 24, no. 5, pp. 891-896, 2013.

### ผลงานตีพิมพ์ในรายงานสืบเนื่องจากการประชุมวิชาการระดับชาติและระดับนานาชาติ

- [1] ปฐมพร เคลือบสุวรรณ, กรณิศ คงเจริญ, จินตวัฒน์ ไชยชนวงศ์, สุรัตน์ อารีรัตน์, "การเตรียมคาร์บอนแอโรเจลไมโครสเพียร์โดยการเกิดอิมัลชันผ่านการฉีดอย่างง่ายและกระบวนการทำแท่งโดยใช้คาร์บอนไดออกไซด์เหนืออุณหภูมิ," การประชุมวิชาการนานาชาติวิศวกรรมเคมีและเคมีประยุกต์แห่งประเทศไทย ครั้งที่ 22, นครราชสีมา, 25 – 26 ตุลาคม 2555.
- [2] J. Chaichanawong, T. Jarurojpeera, N. Neoykiew, M. Fakkao, "Production of activated carbon from tamarind seeds by pyrolysis and chemical activation," *Proceedings of the 2<sup>nd</sup> Joint Conference on Renewable Energy and Nanotechnology, JCREN 2013*, Higashi-Hiroshima, Japan, November 25-26, 2013, pp. 198-201.